

FIG. 1.

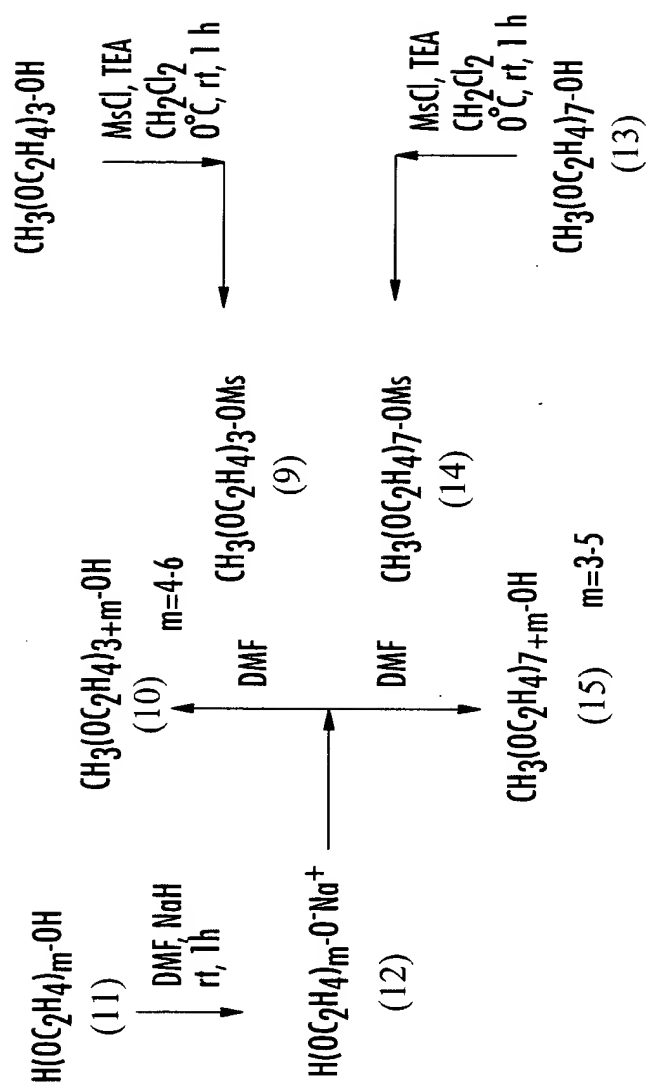


FIG. 2.

**FIG. 3.**

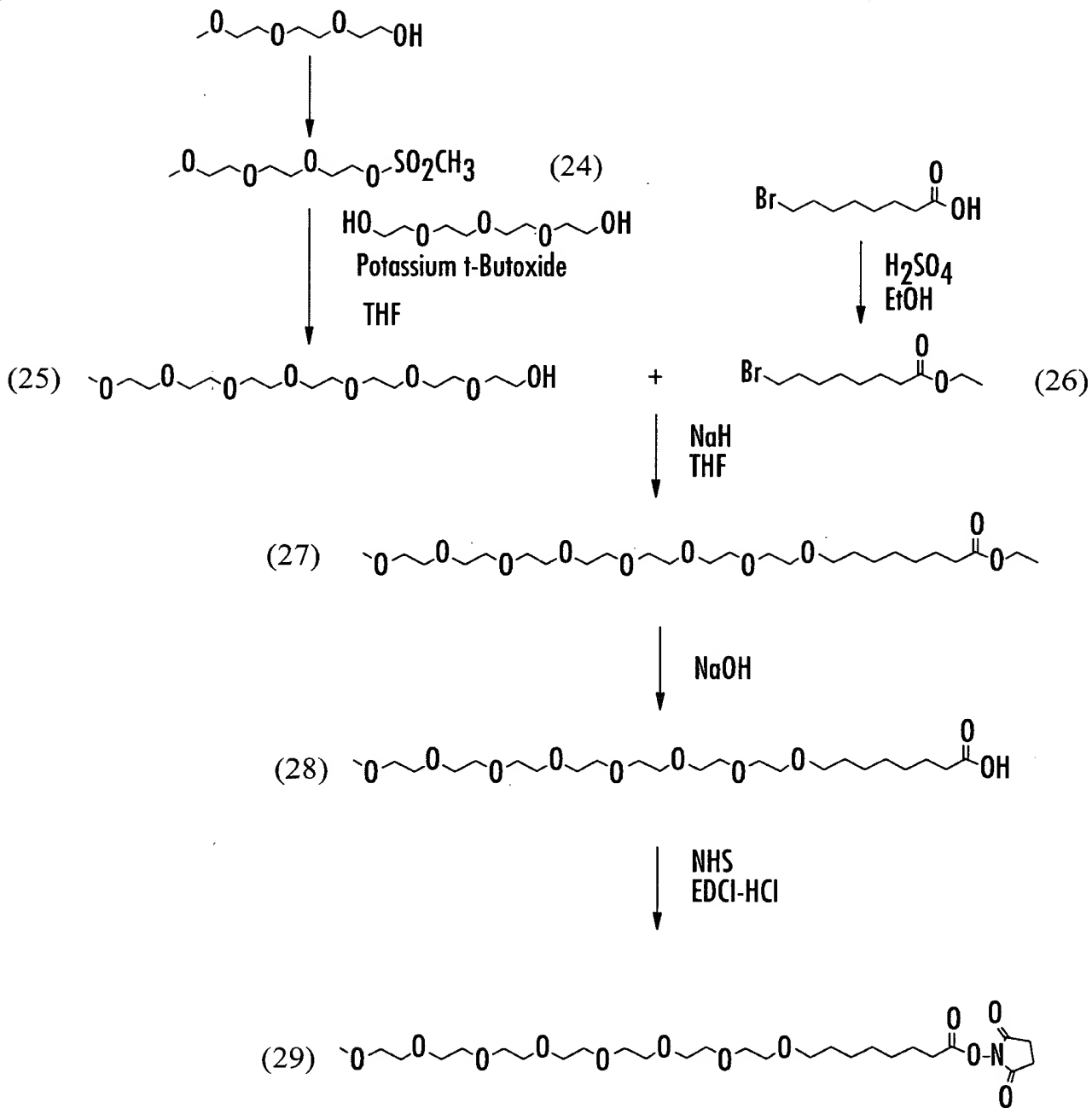
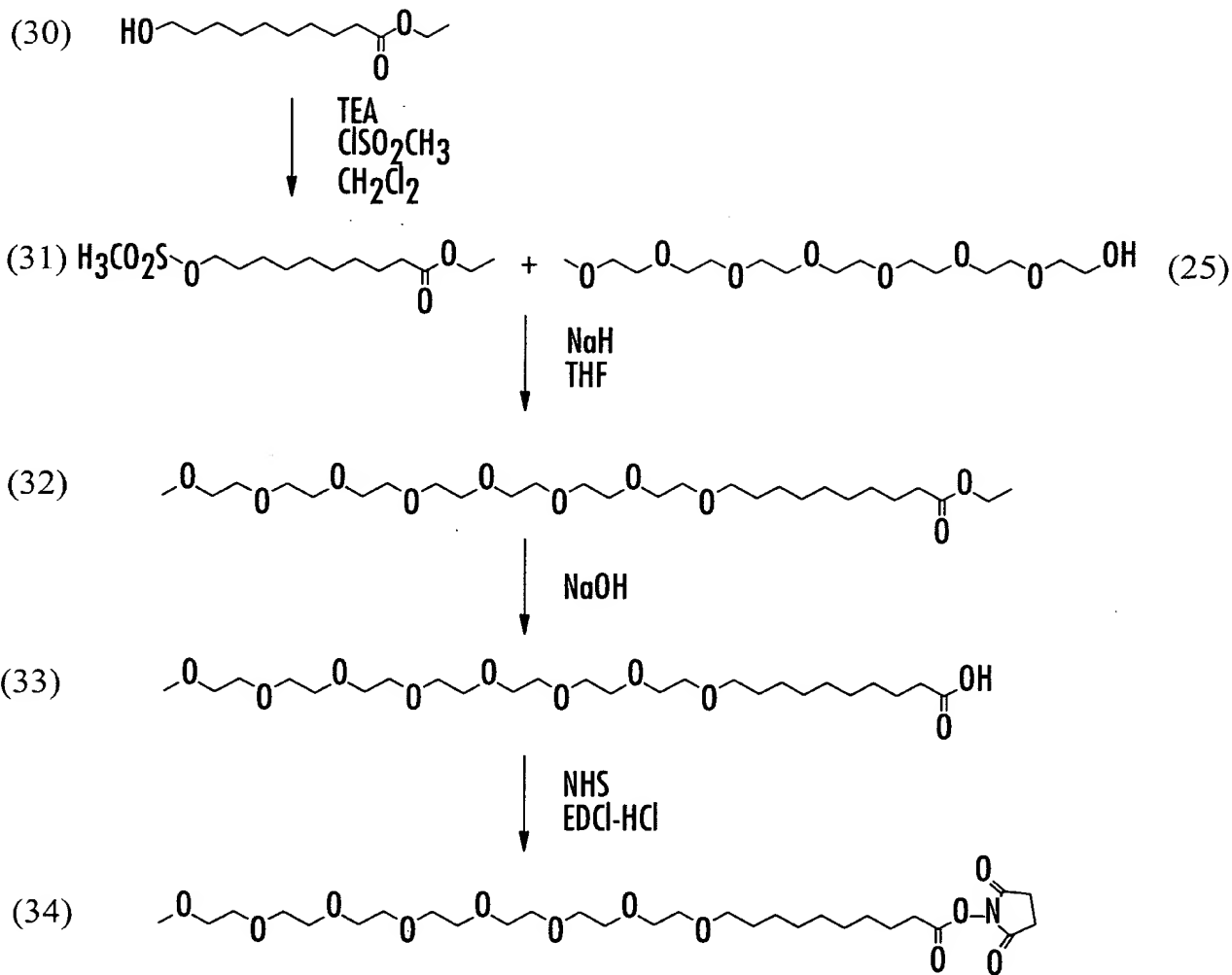


FIG. 4.



**FIG. 5.**

6/43

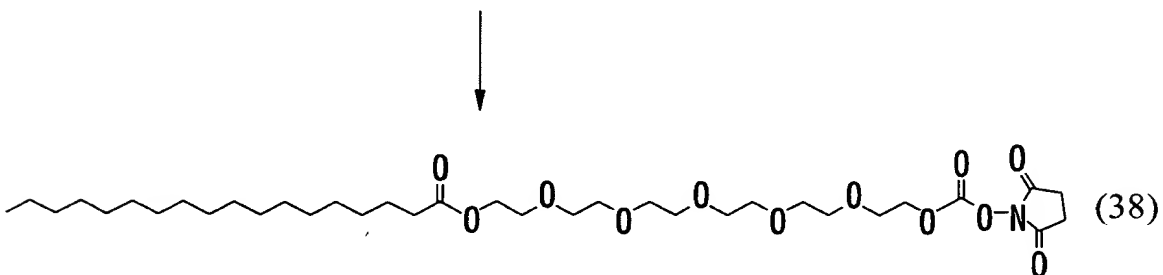
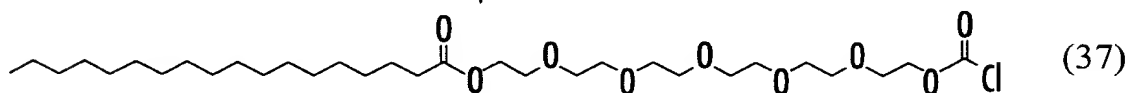
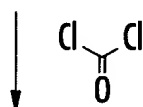
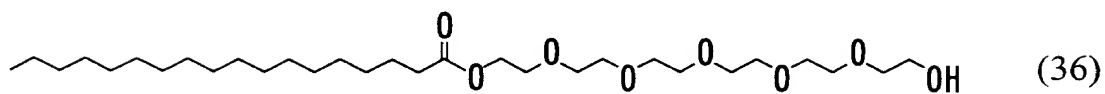
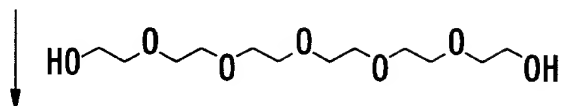
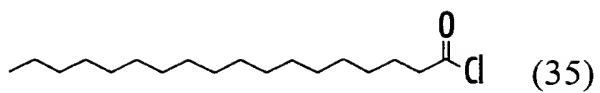


FIG. 6.

7/43

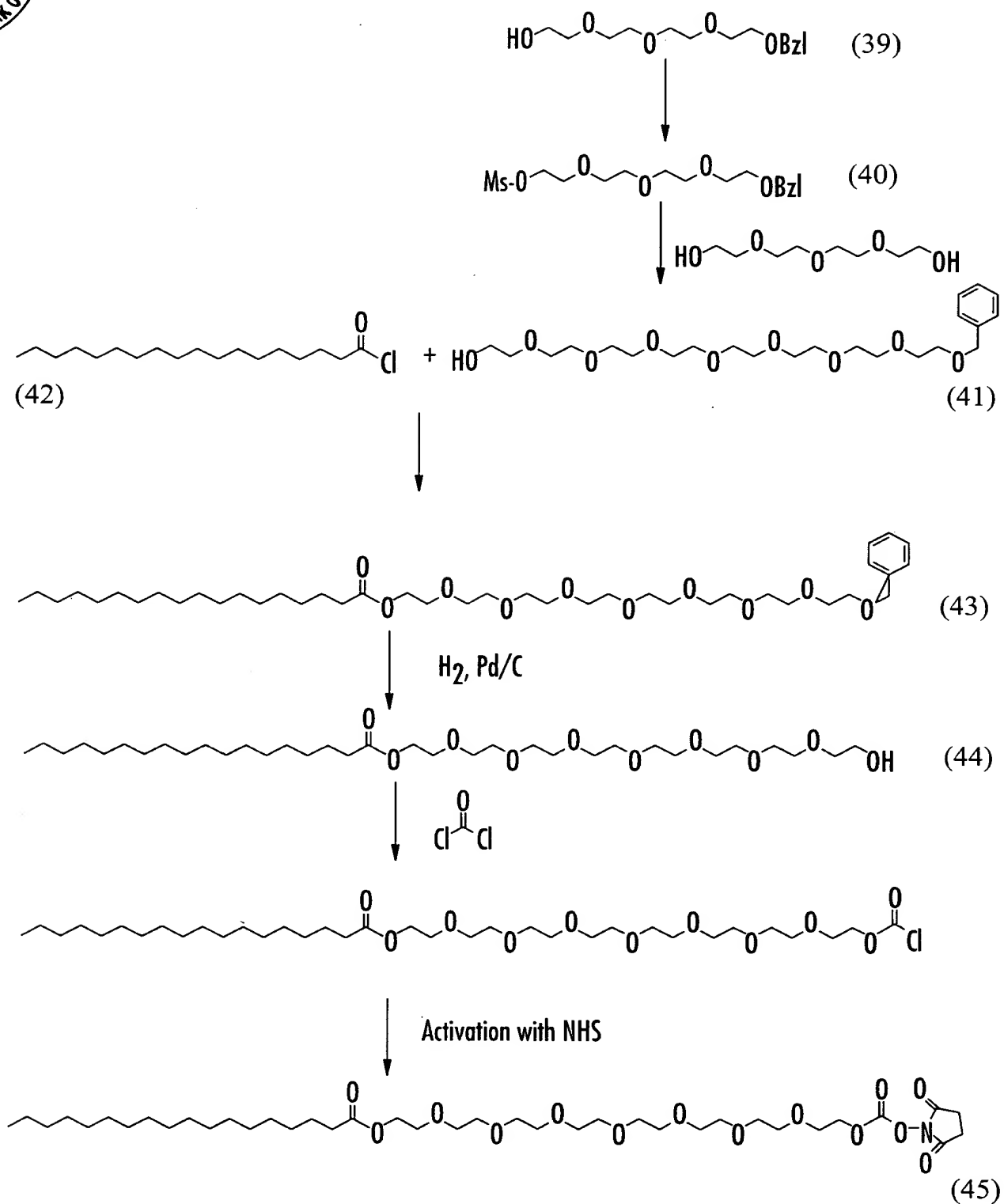


FIG. 7.

8/43

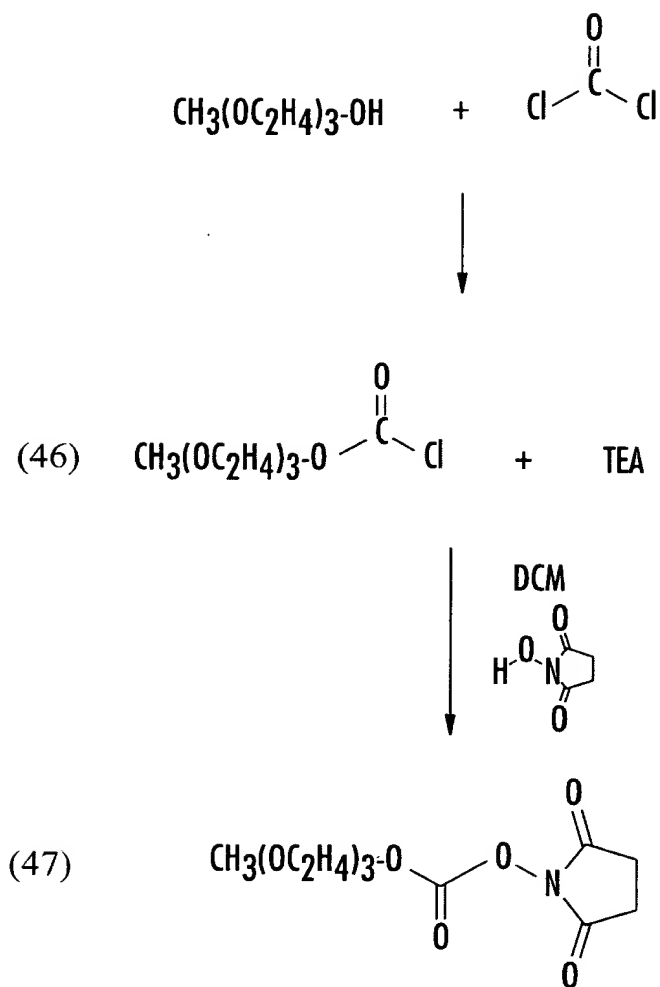


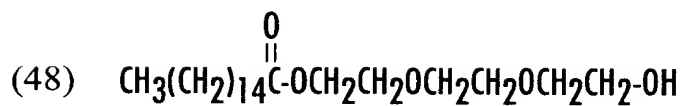
FIG. 8.



9/43



↓  
DCM/12h; R.T.



↓  
i. DMF  
ii. NaH

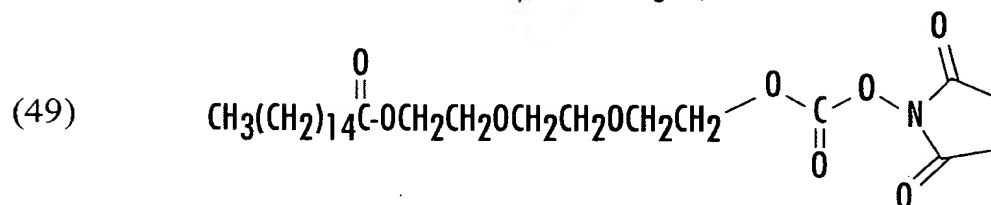
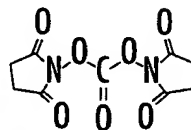


FIG. 9.



10/43

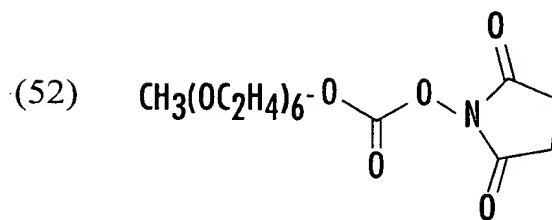
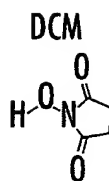
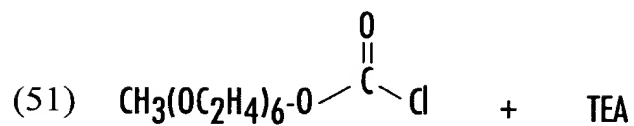
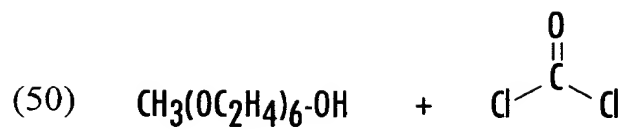


FIG. 10.



11/43

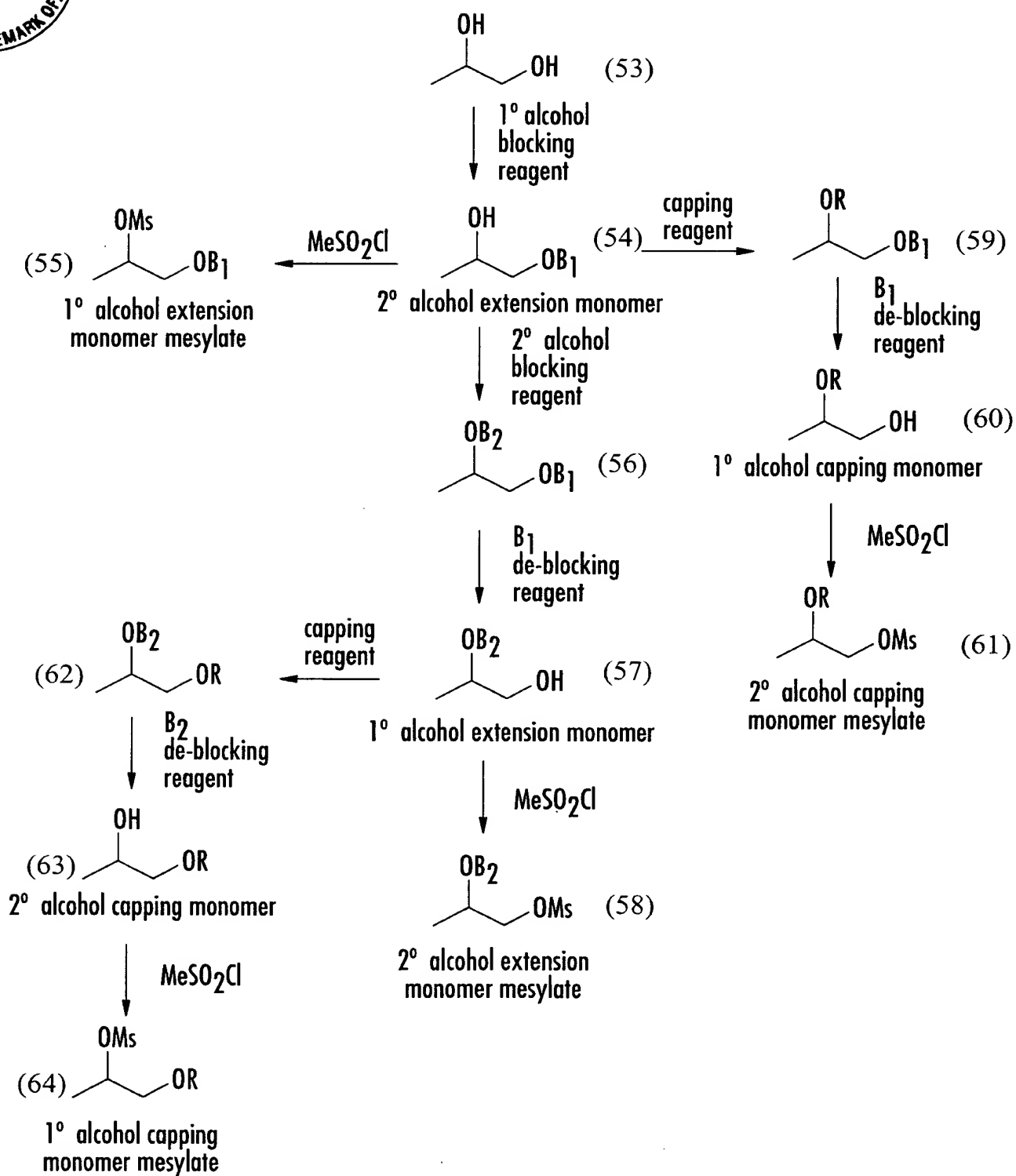


FIG. 11.



12/43

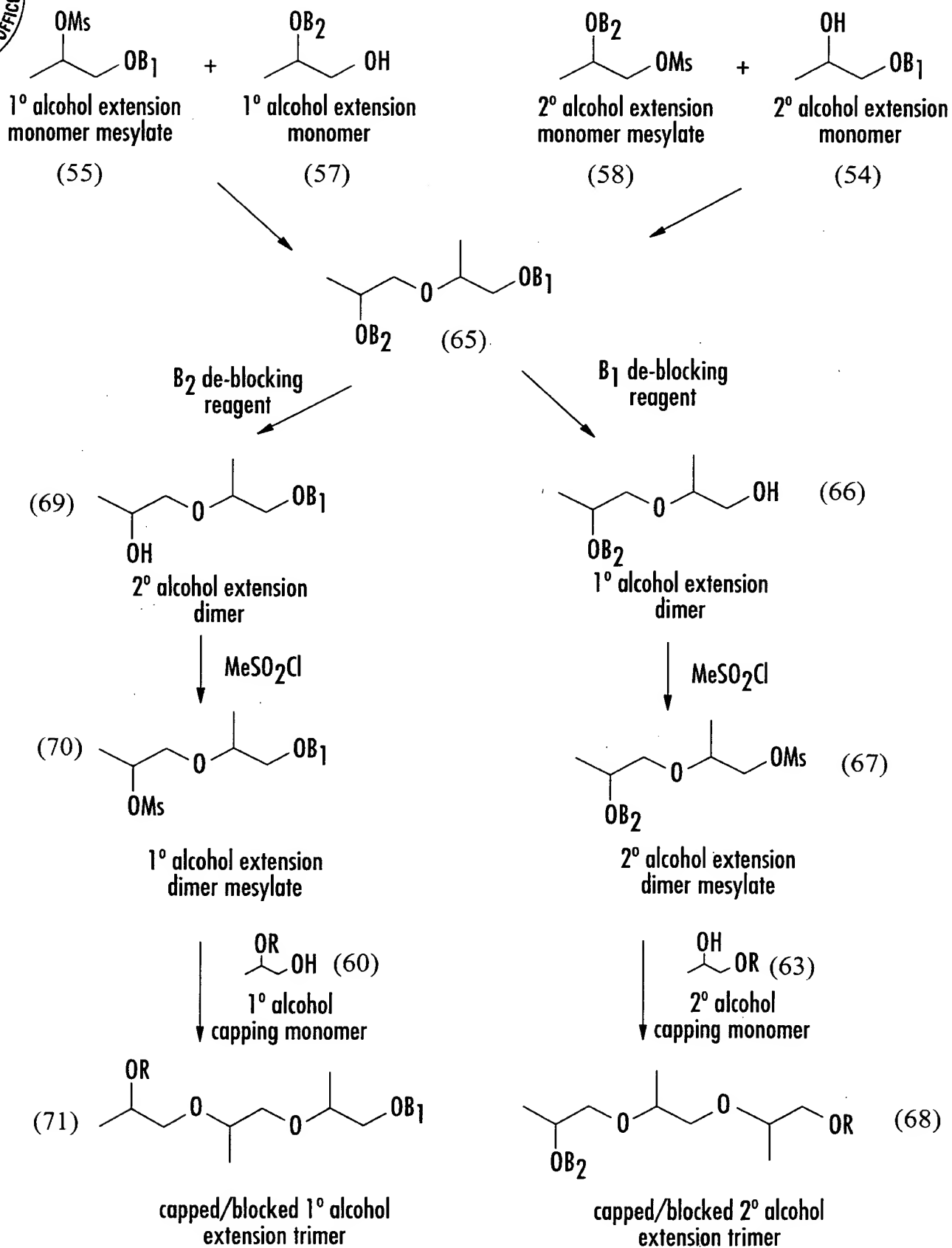


FIG. 12.

13/43

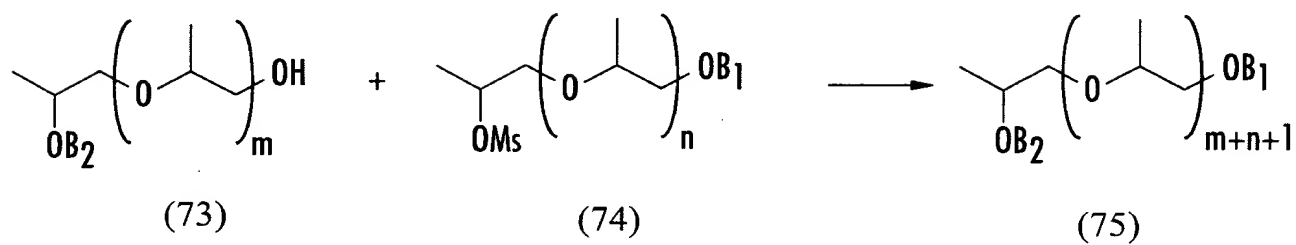
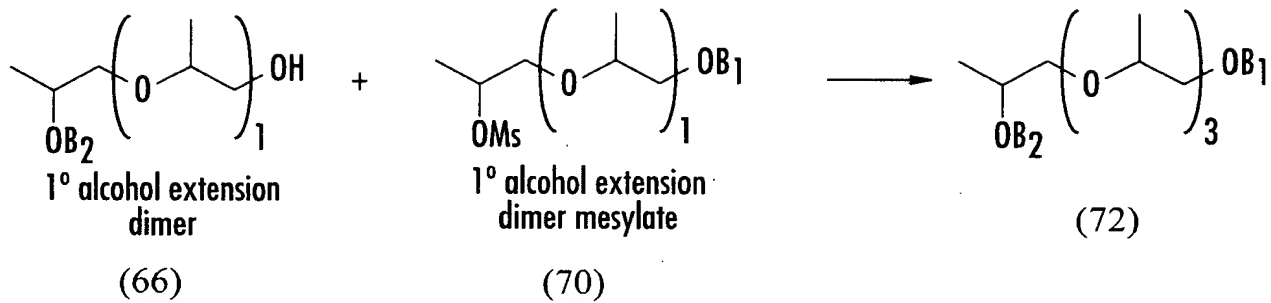


FIG. 13.



14/43

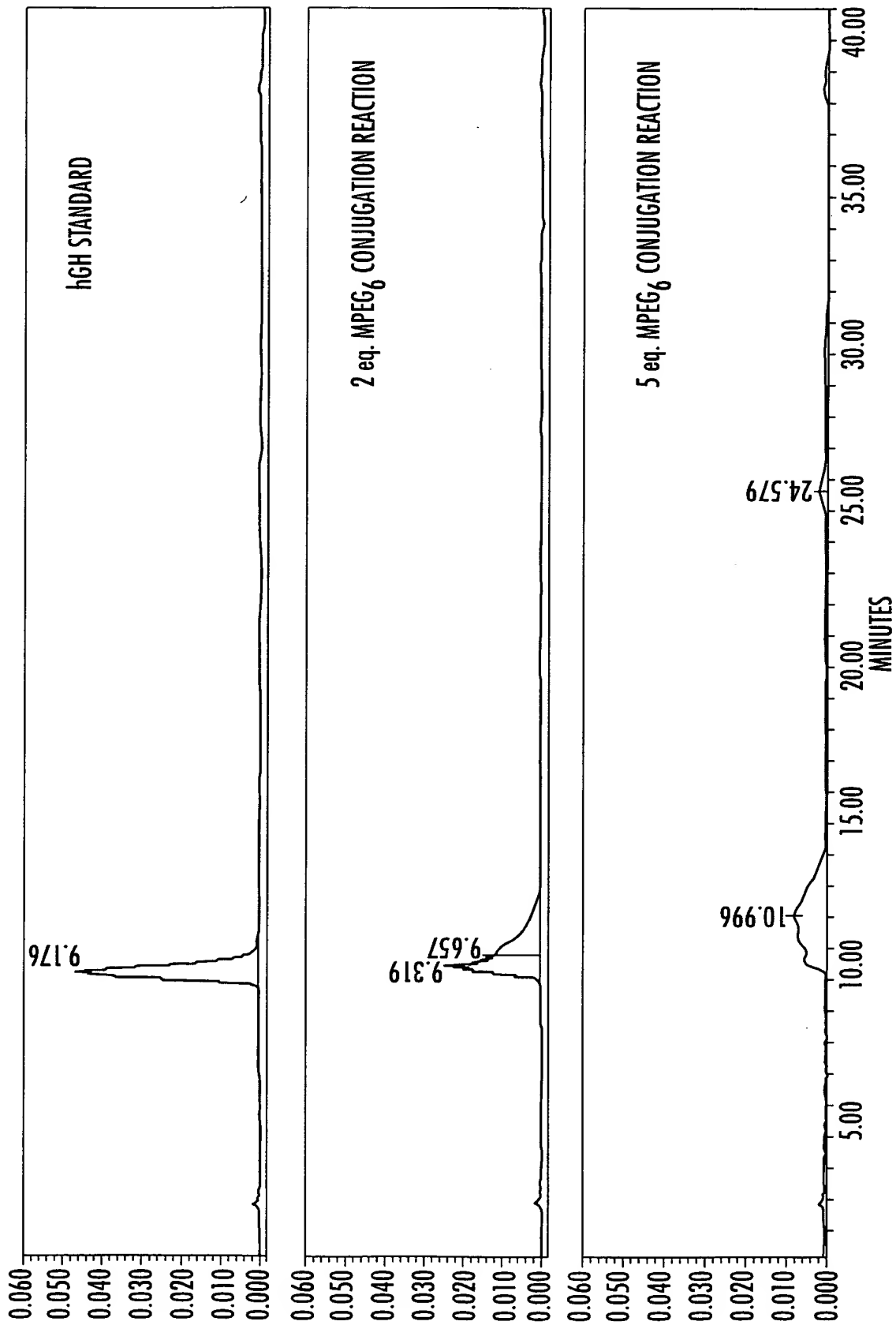


FIG. 14.

15/43

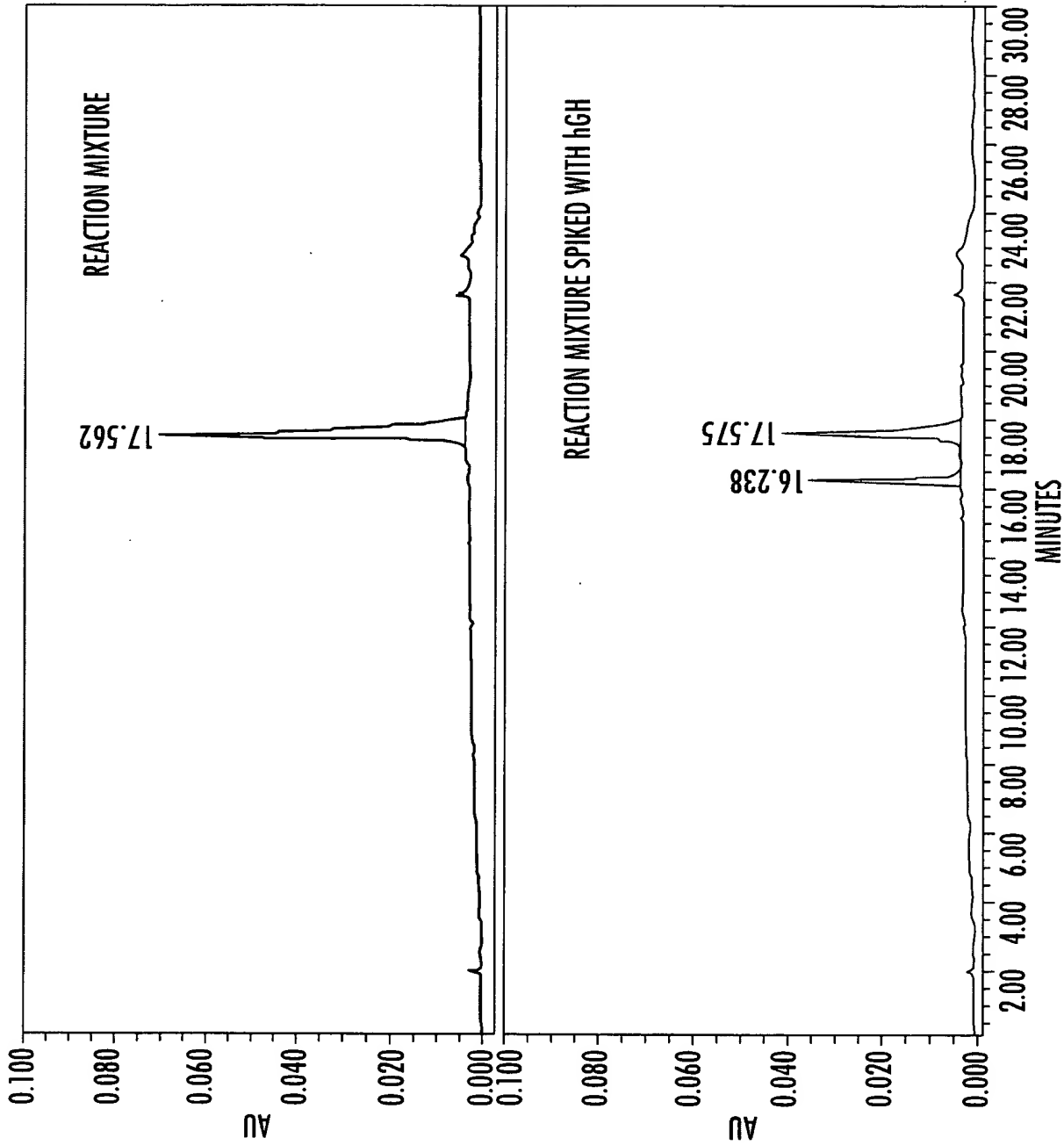


FIG. 15.



16/43

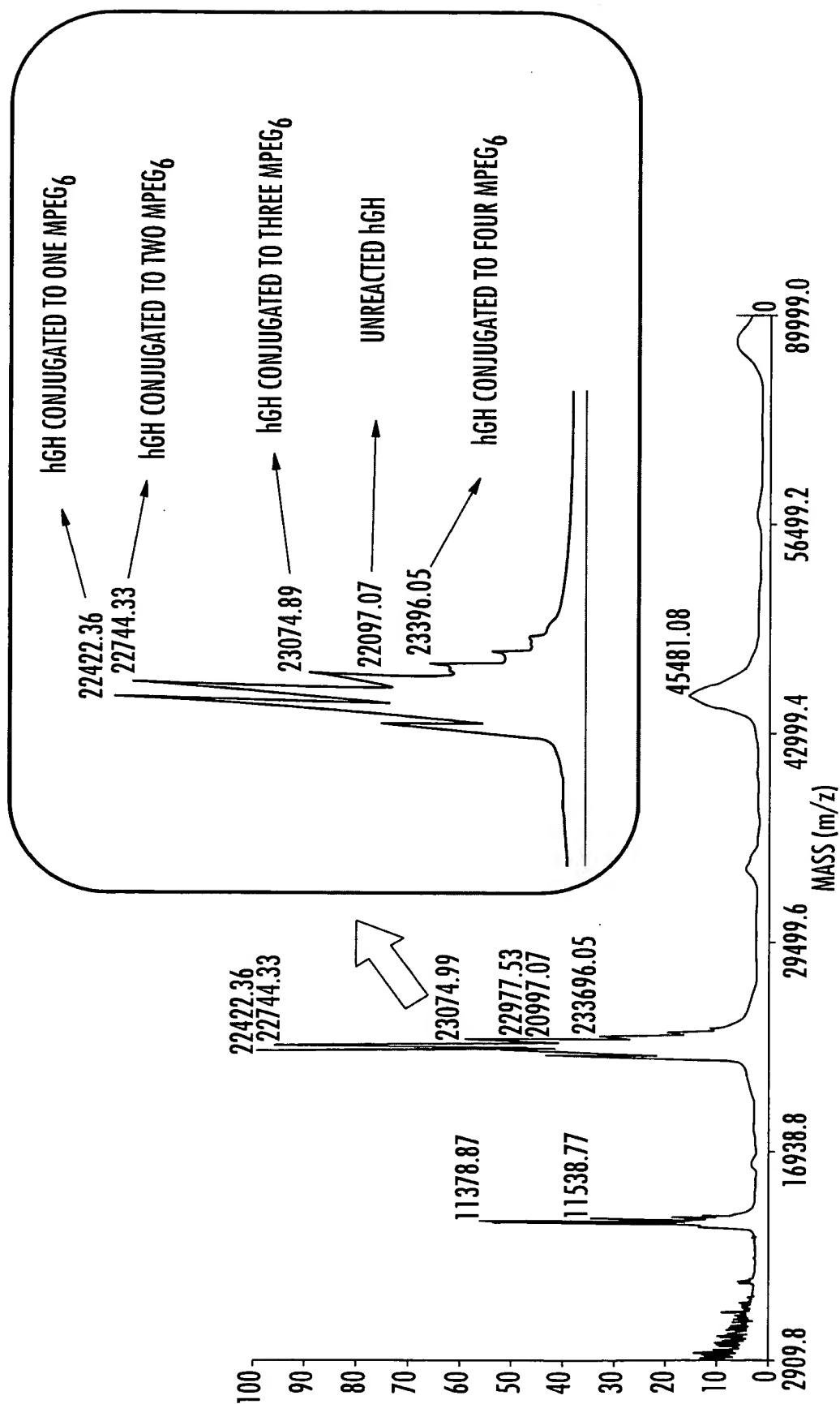
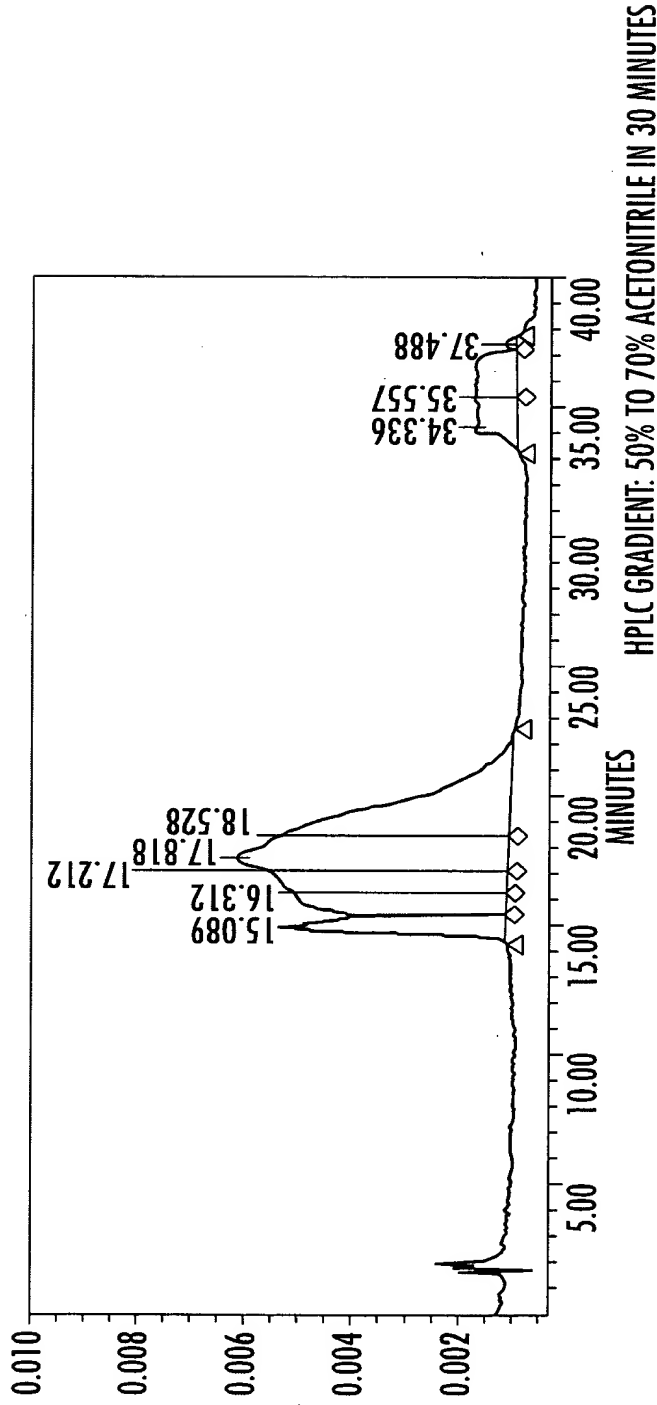


FIG. 16.





17/43



FRACTION	RETENTION TIME (min.)	AREA
150-A0-109A	15.089	155714
150-A0-109B	16.312	179786
150-A0-109C	17.212	221177
150-A0-109D	17.818	379932
150-A0-109E	18.528	400256
150-A0-109F	34.336	74735
150-A0-109G	35.557	76637

FIG. 17.



18/43

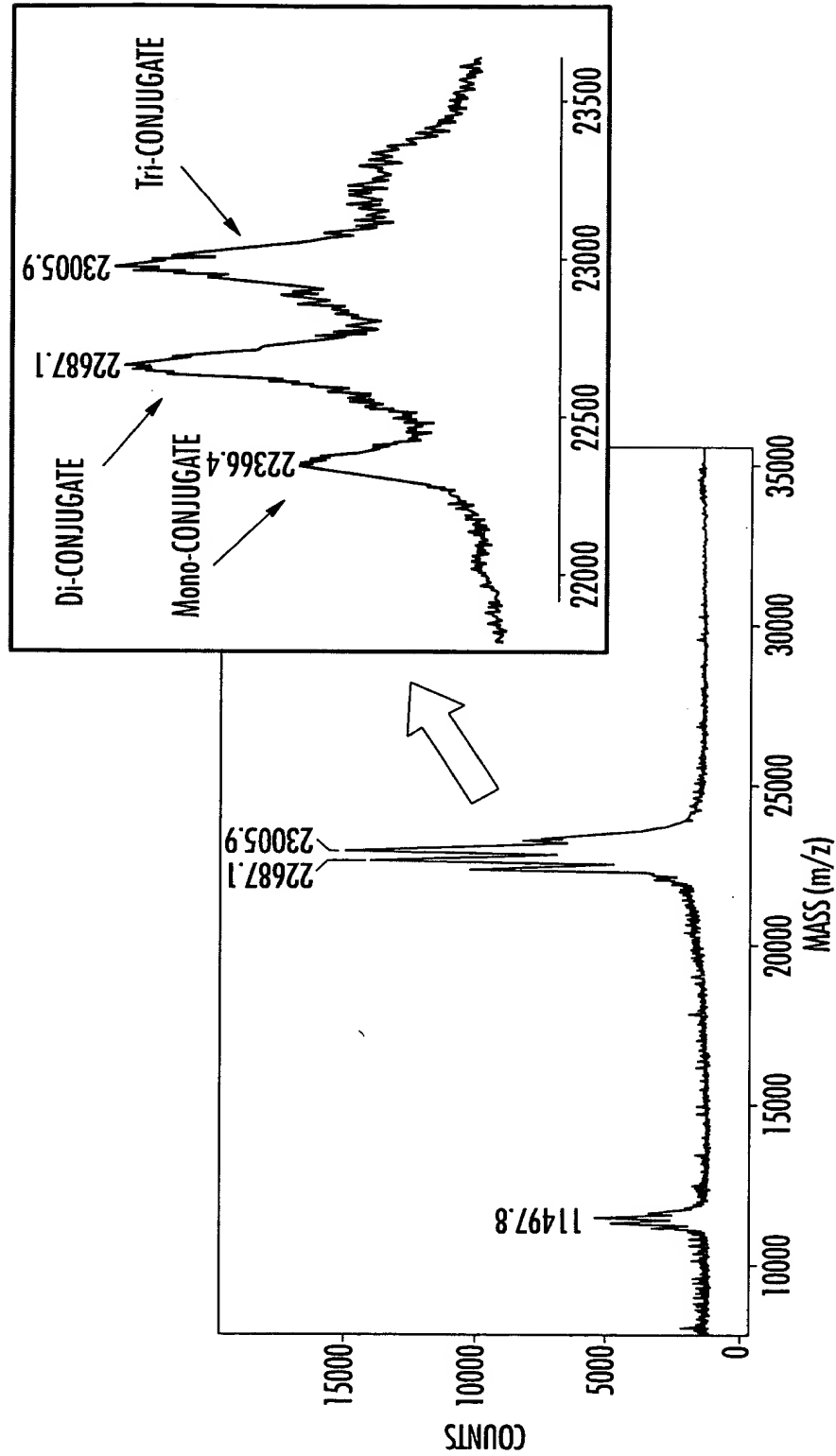


FIG. 18.



19/43

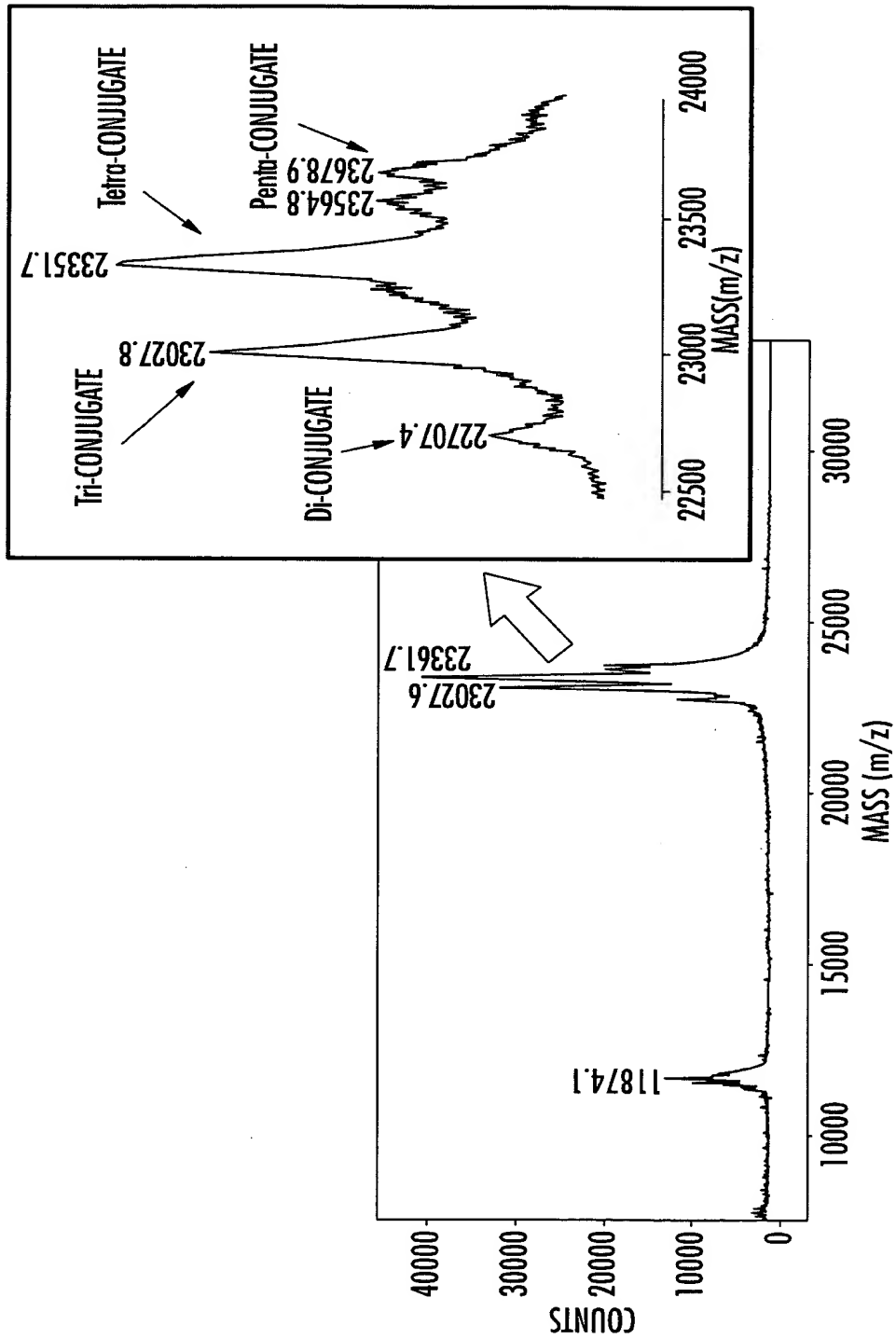


FIG. 19.



20/43

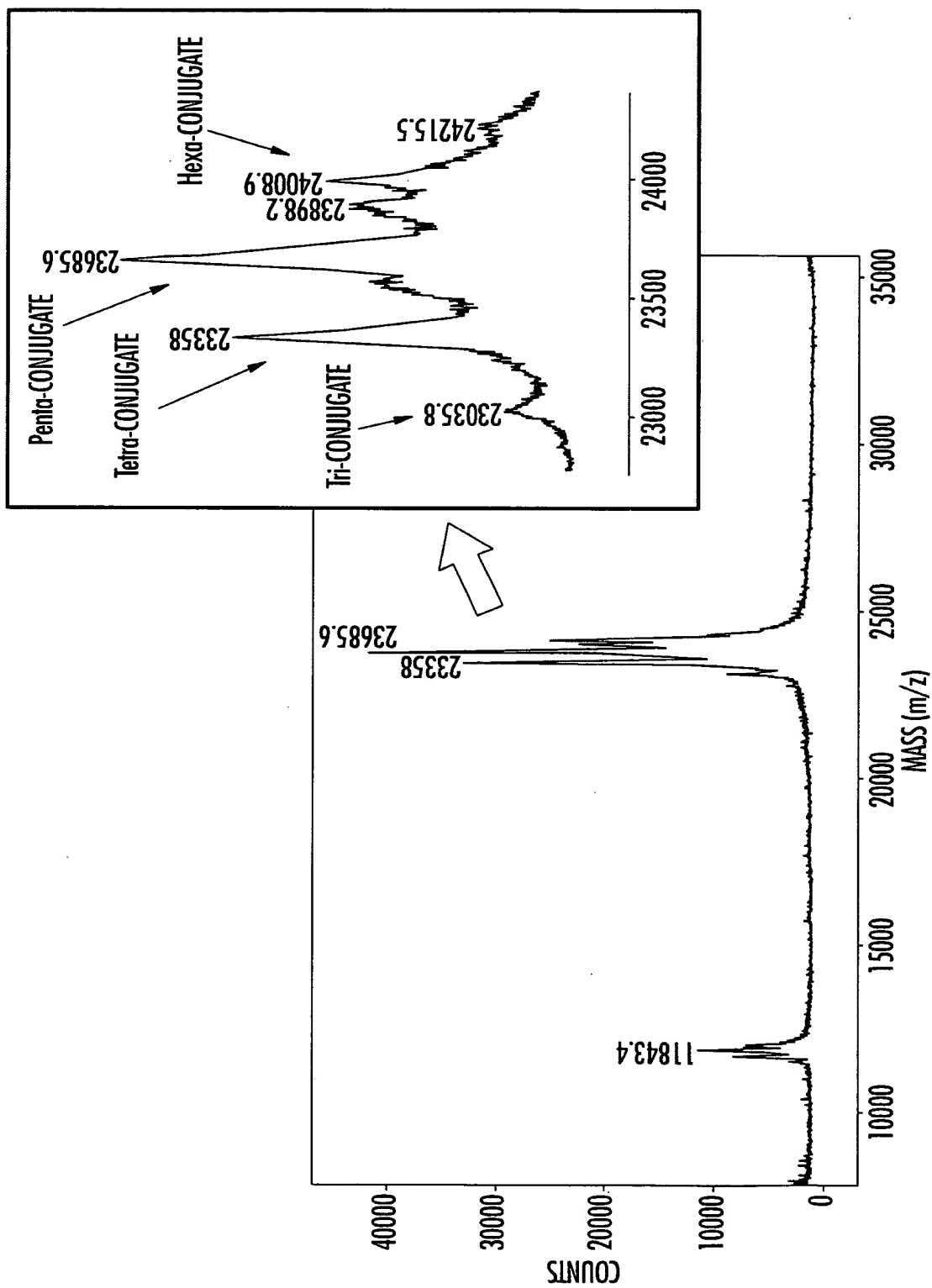


FIG. 20.



21/43

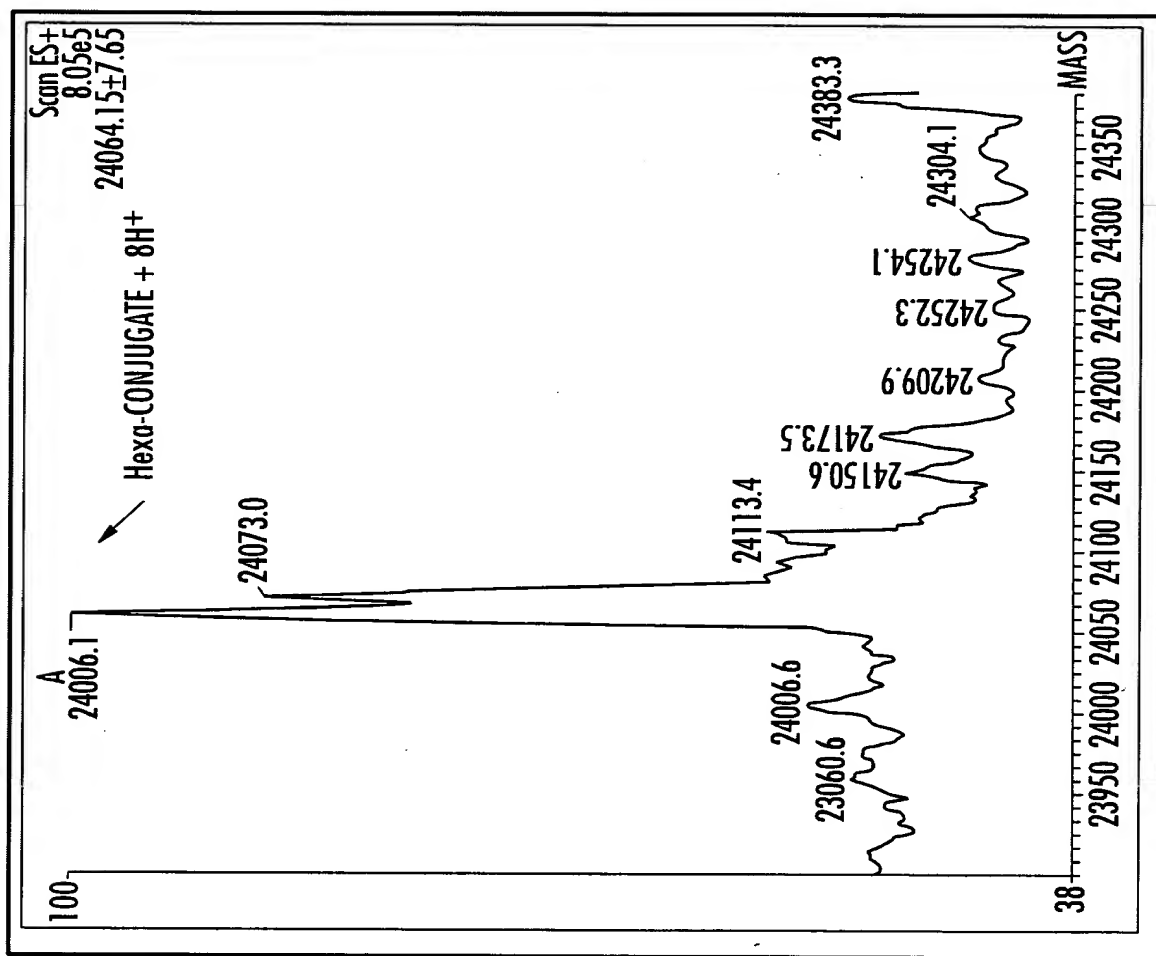


FIG. 21.

22/43

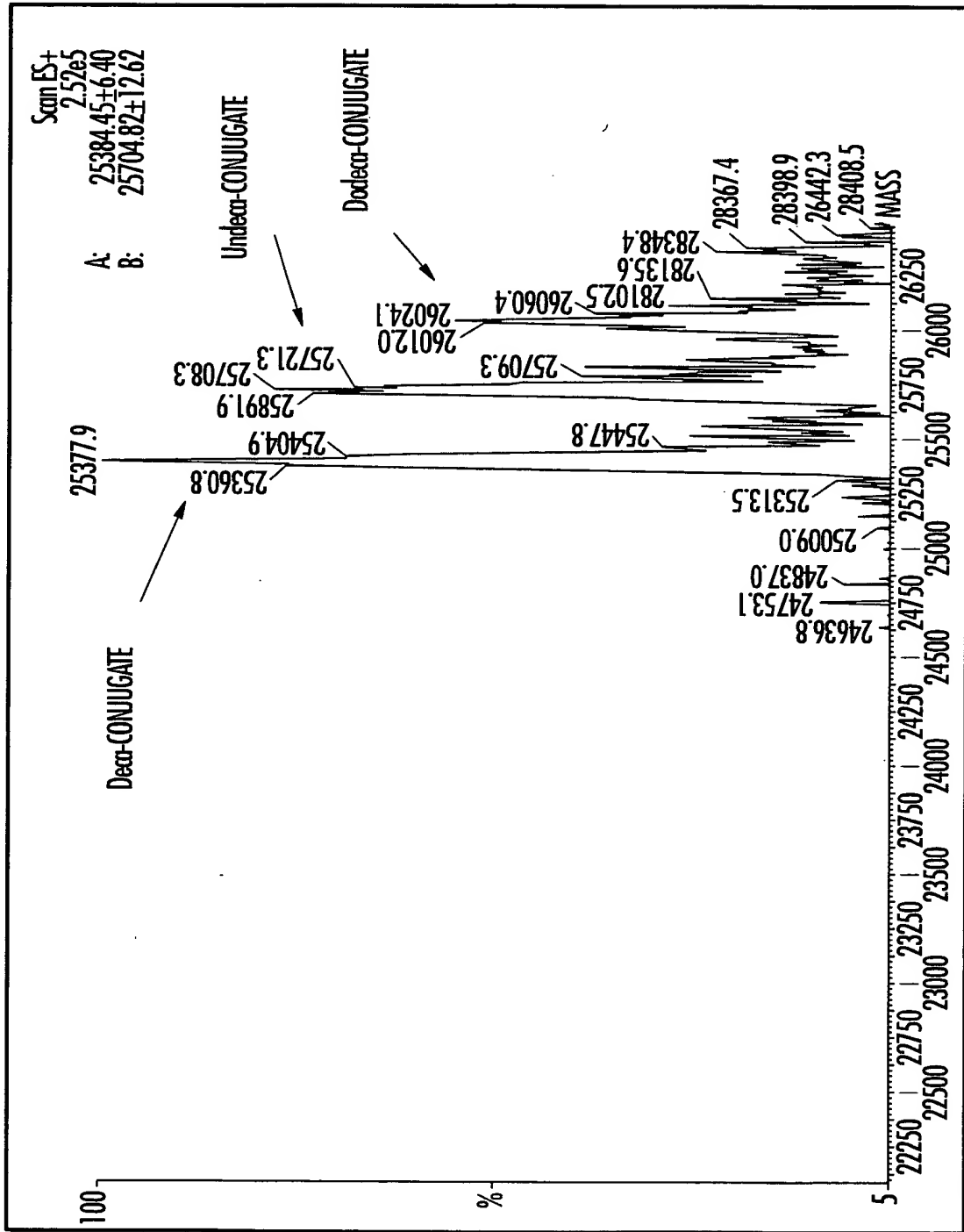


FIG. 22.



23/43

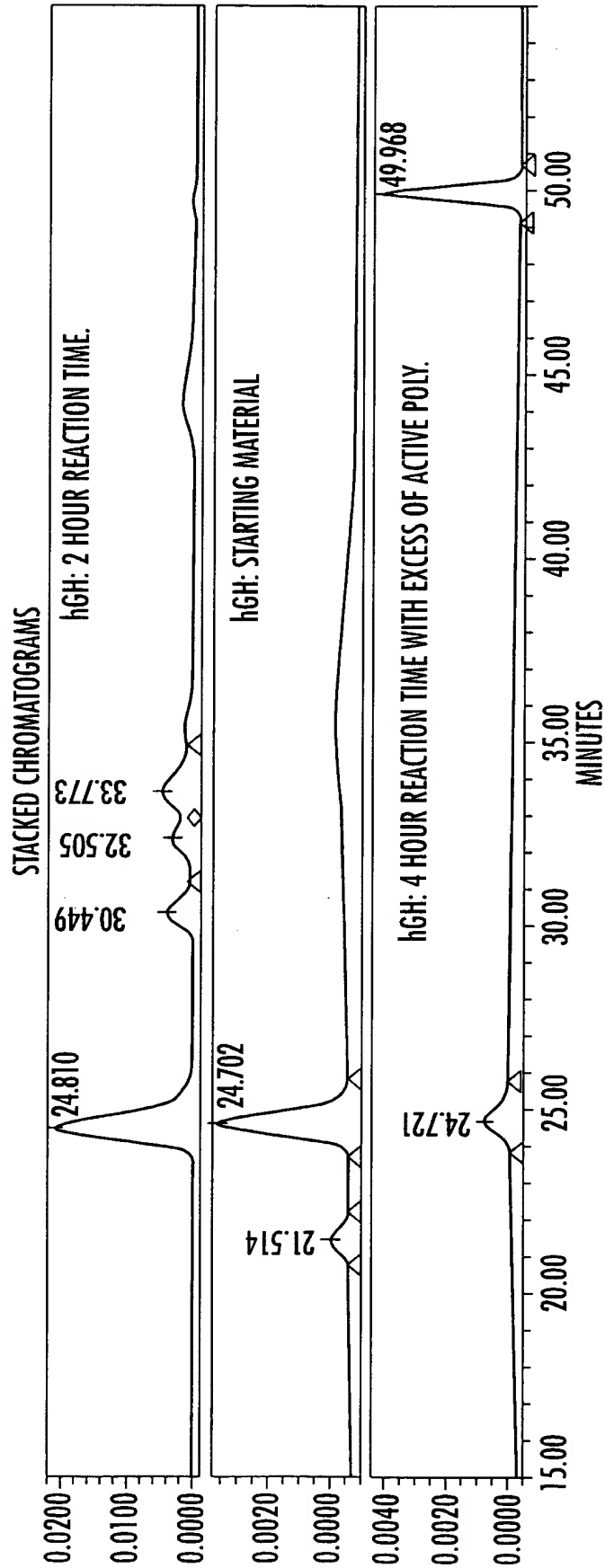


FIG. 23.



24/43

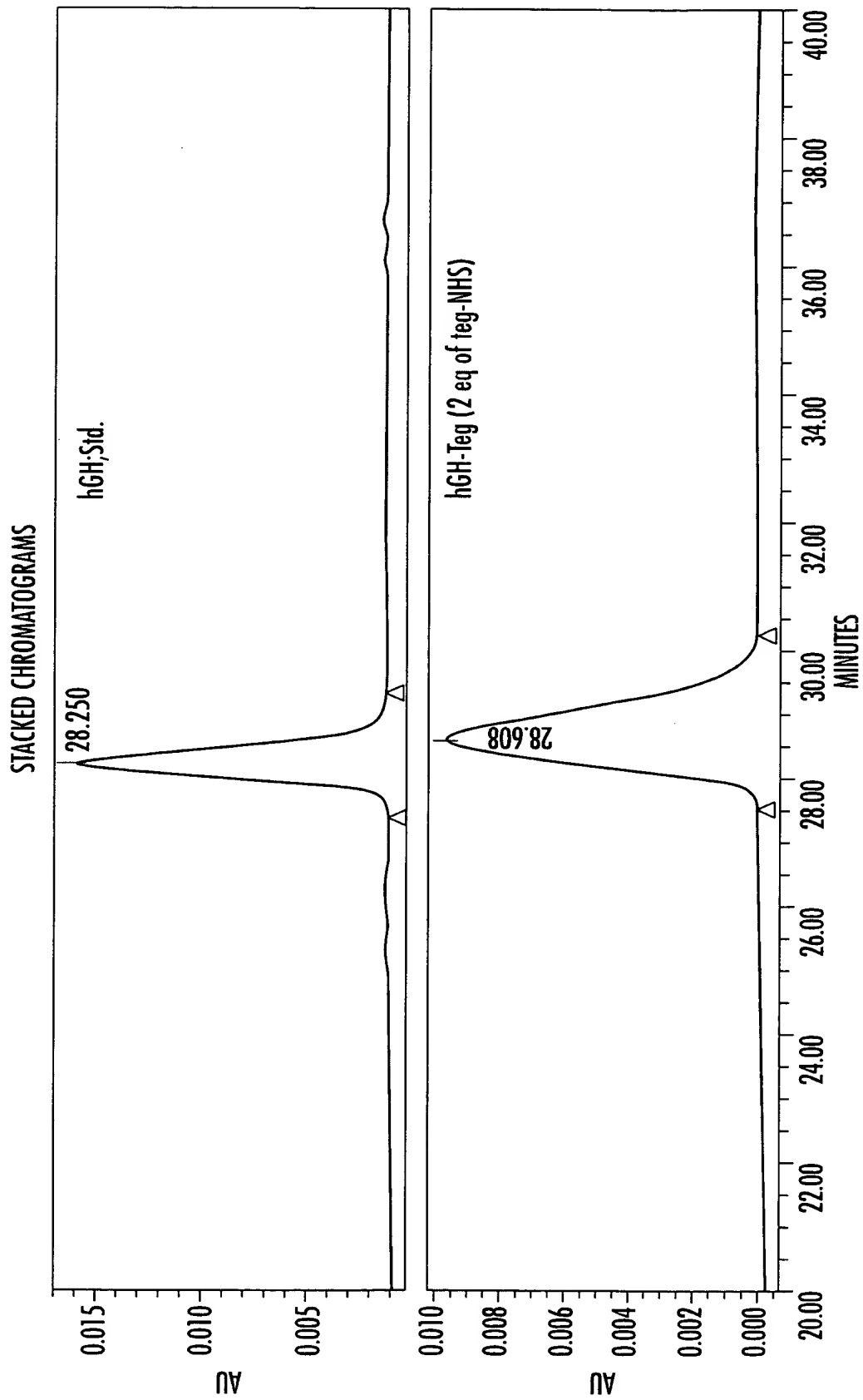


FIG. 24.





25/43

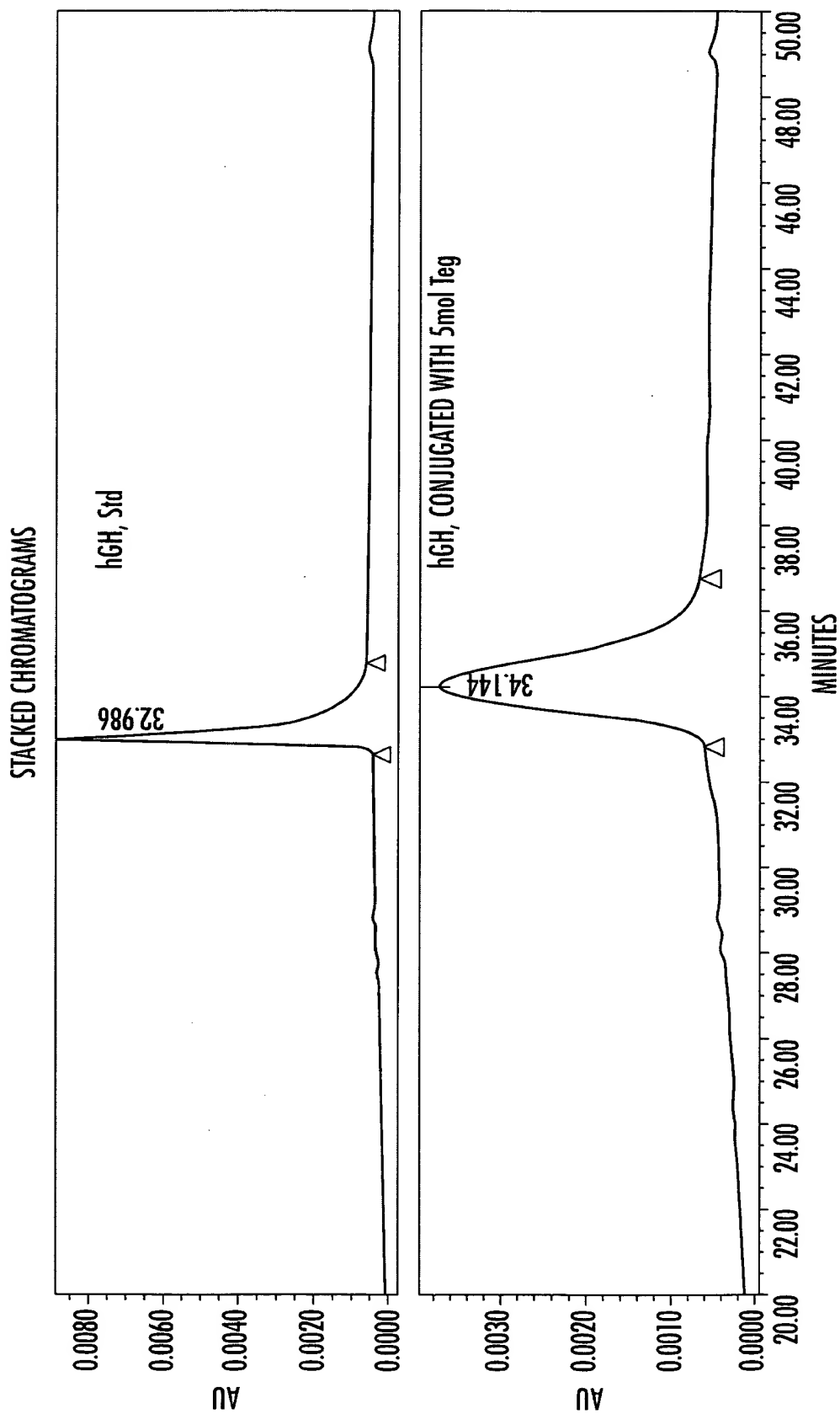


FIG. 25.



26/43

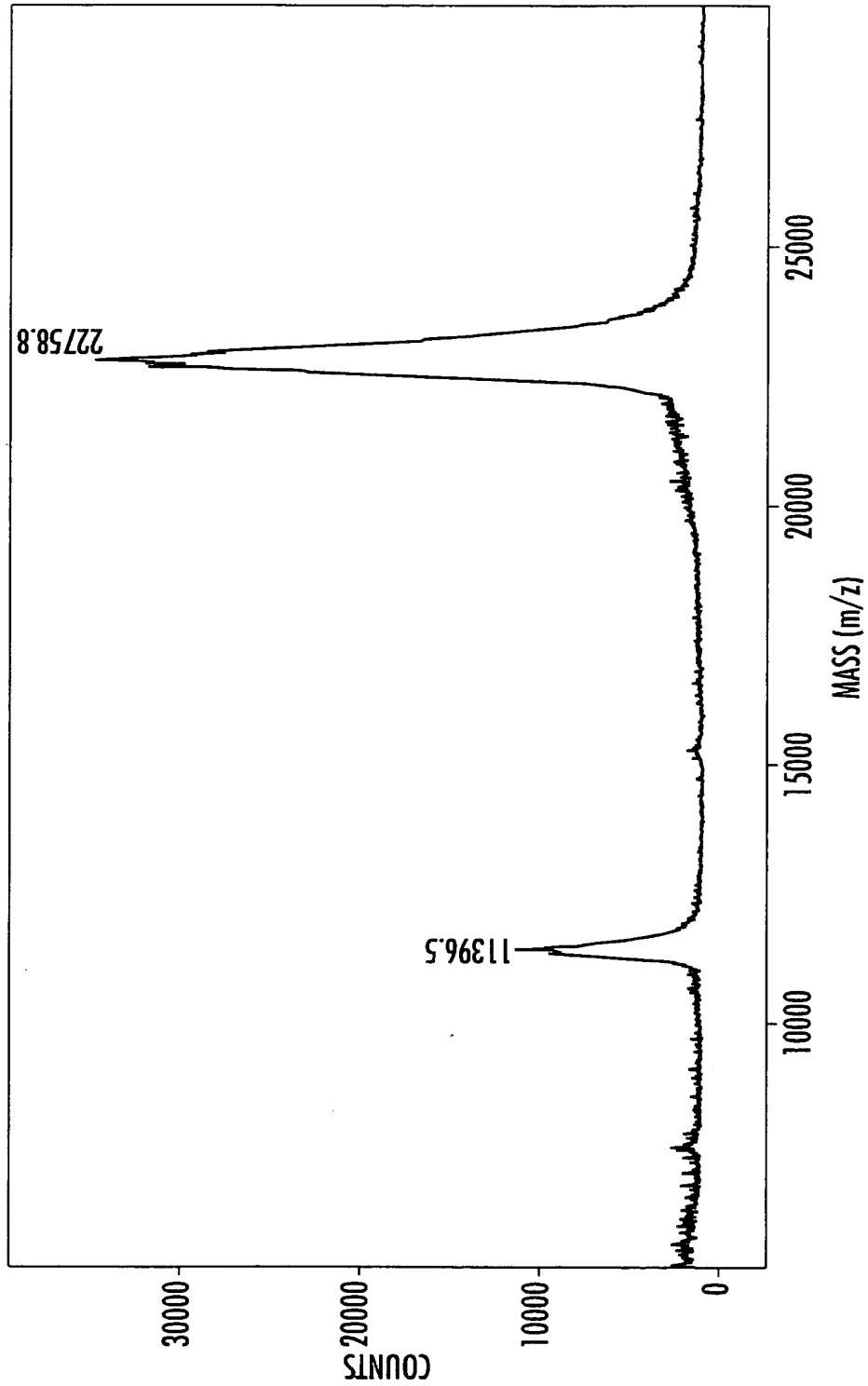


FIG. 26.



27/43

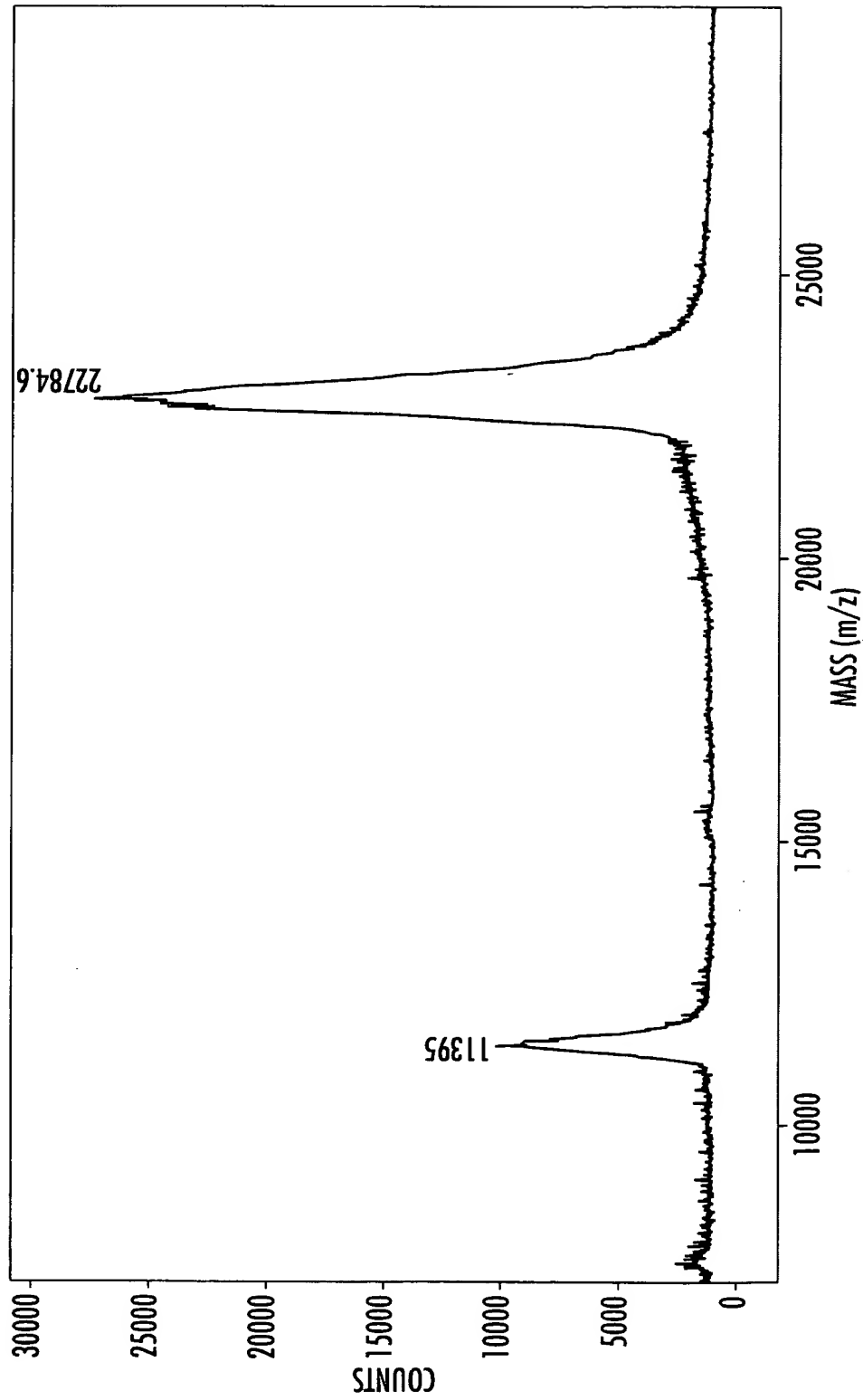


FIG. 27.



28/43

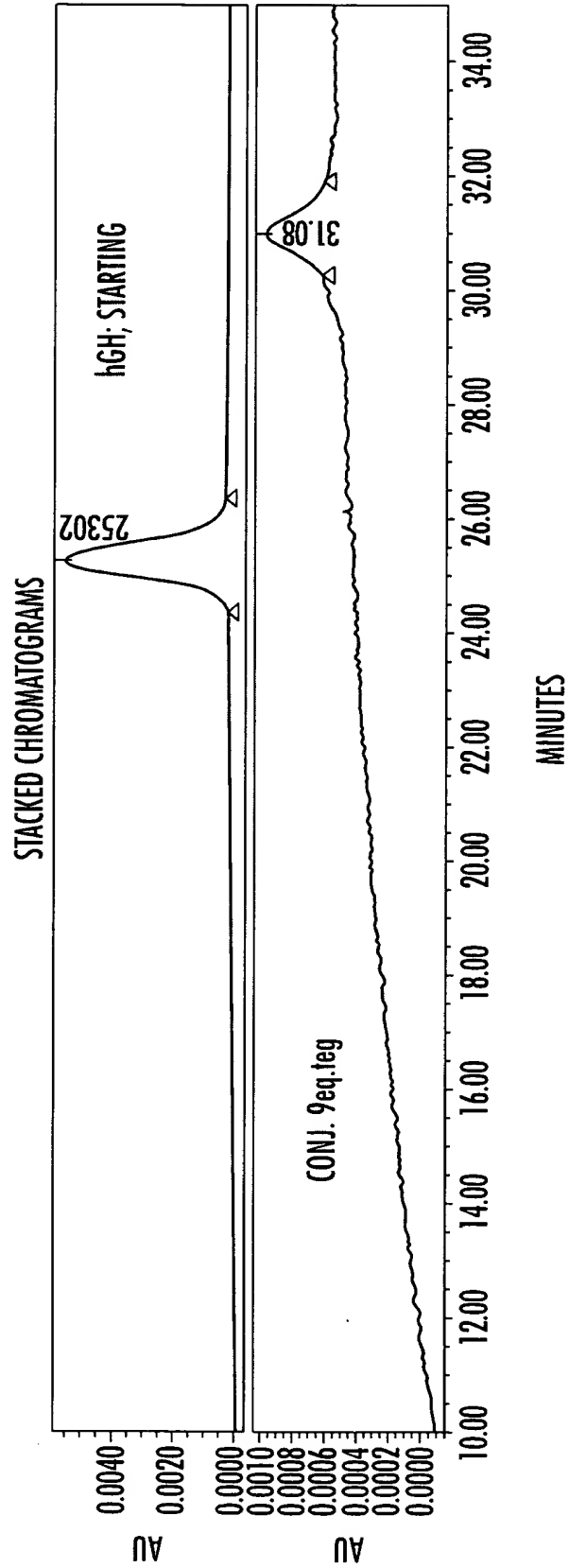


FIG. 28.



29/43

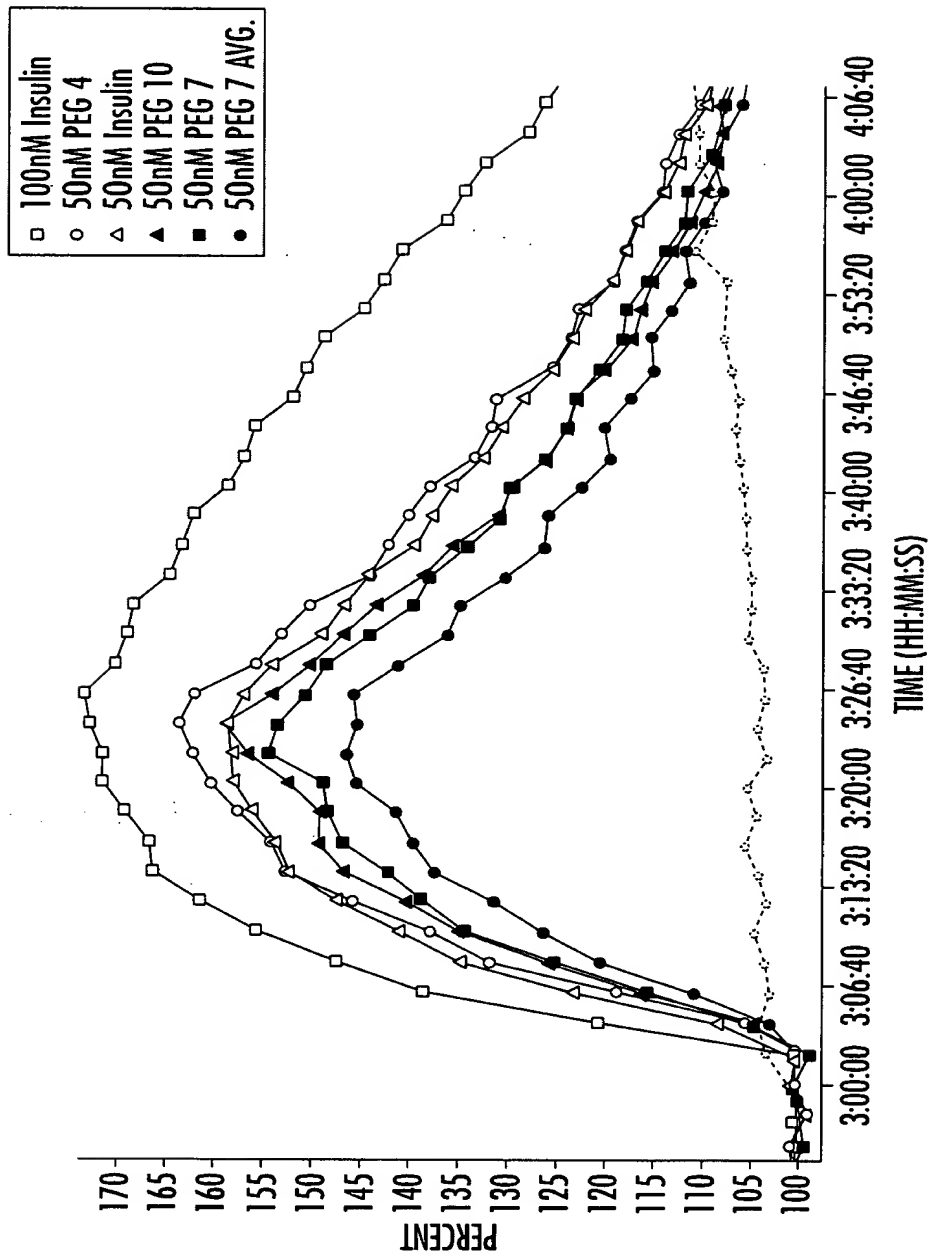


FIG. 29.



30/43

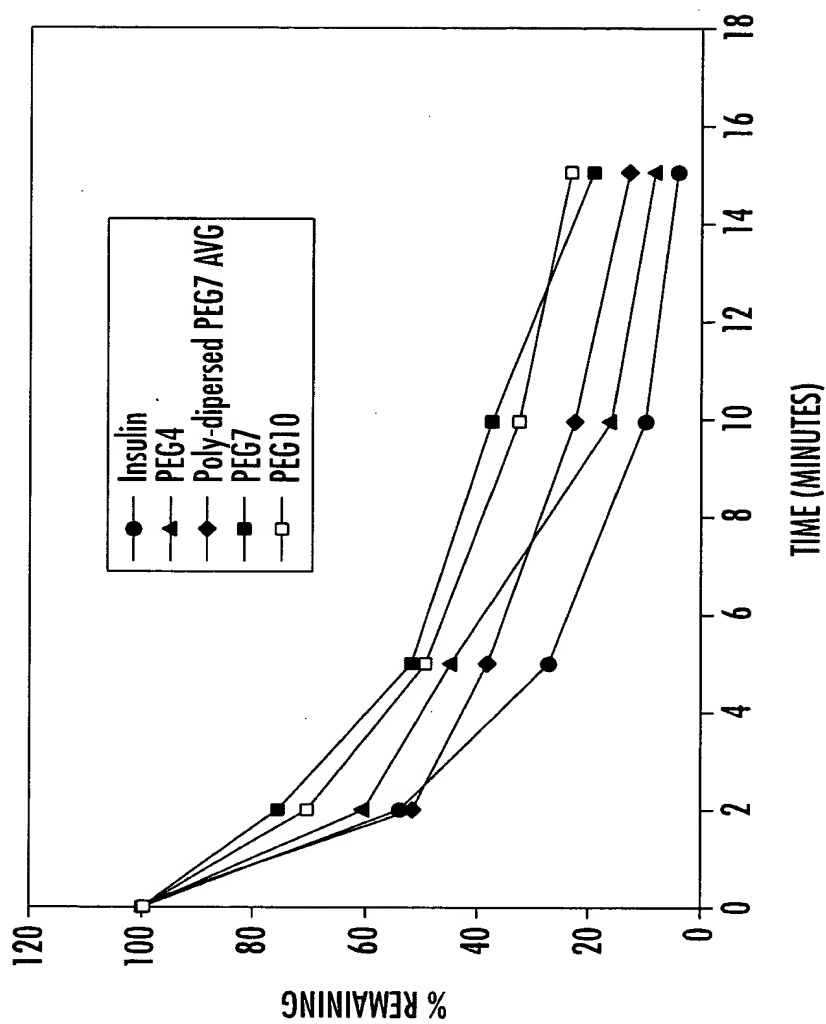


FIG. 30.



31/43

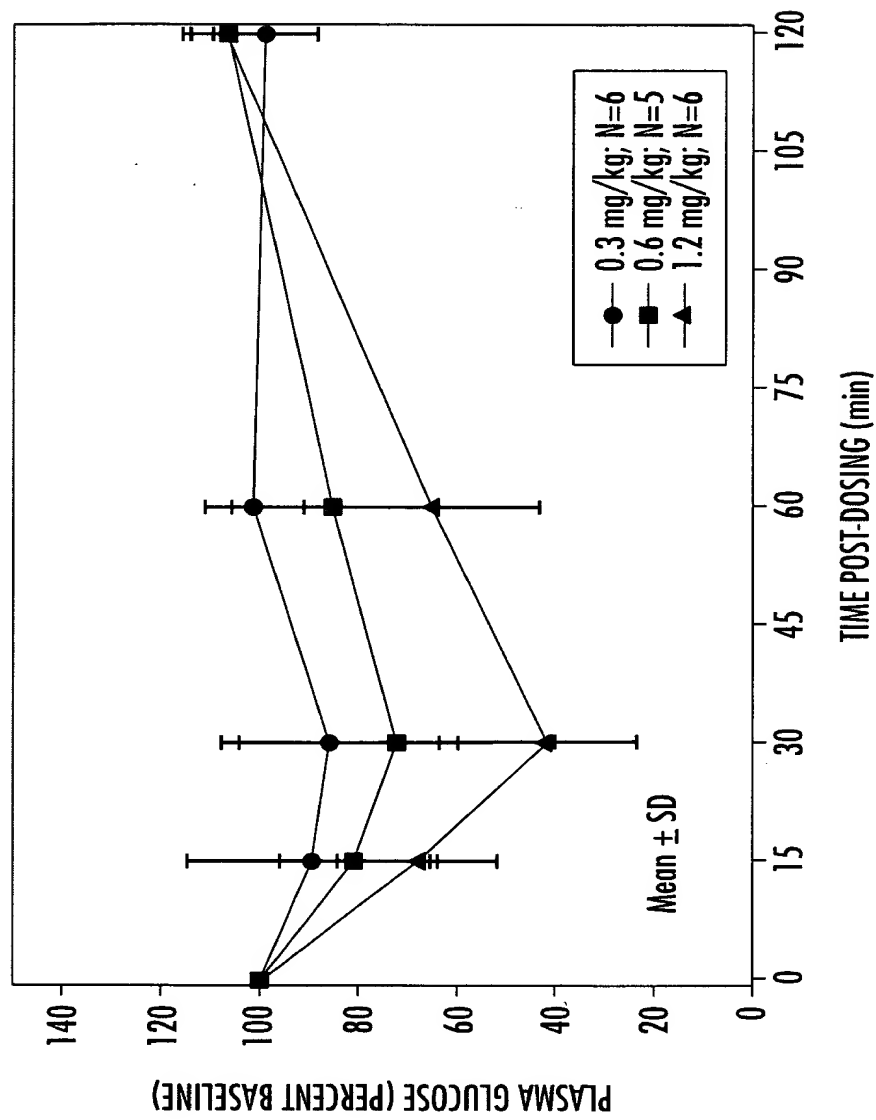


FIG. 31.

32/43

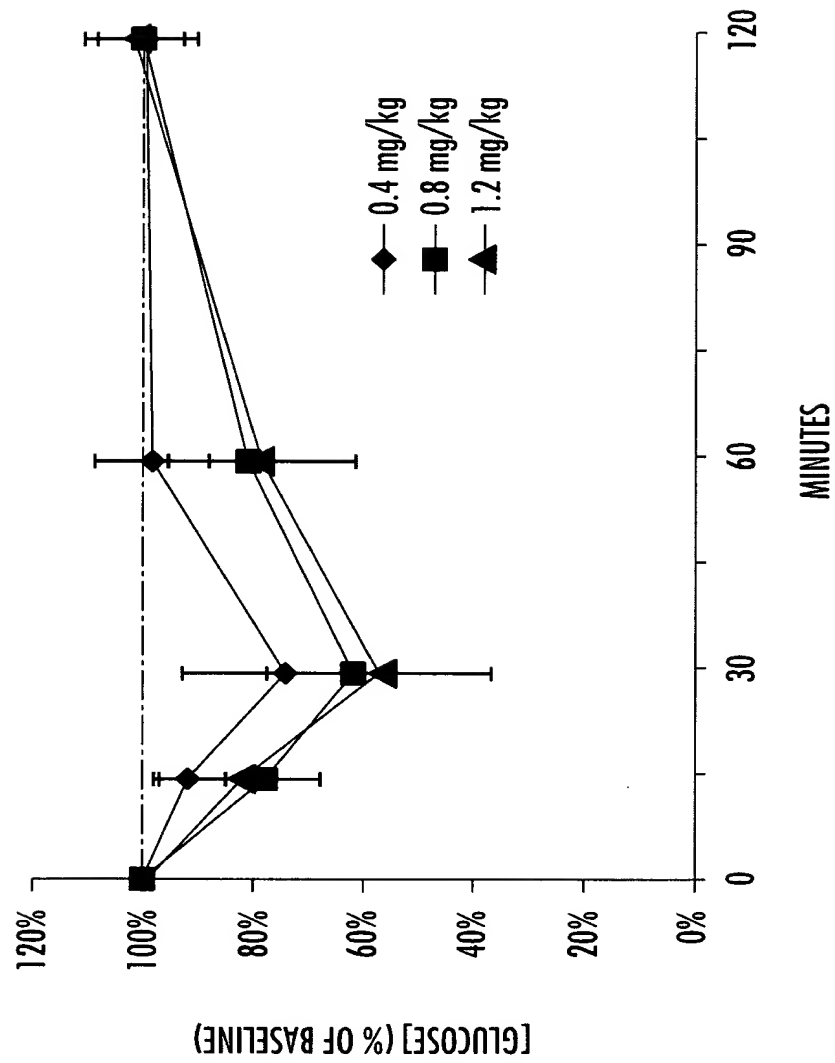


FIG. 32.





33/43

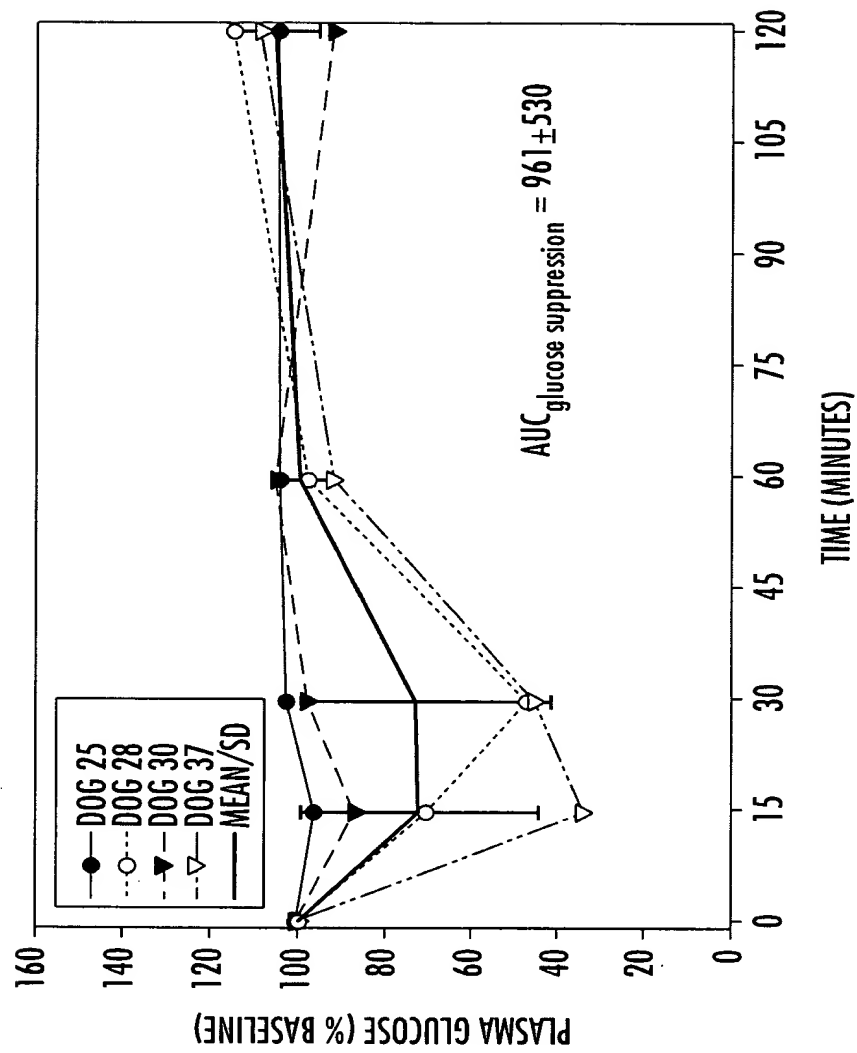


FIG. 33.

34/43

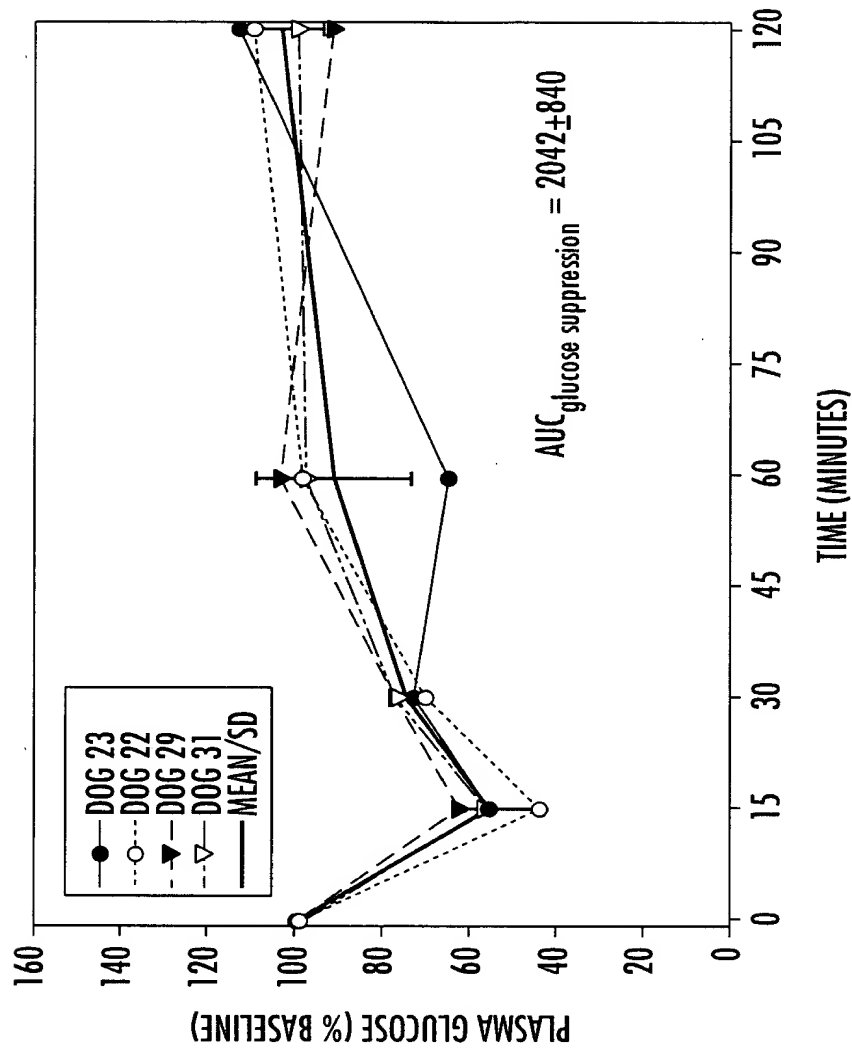


FIG. 34.



35/43

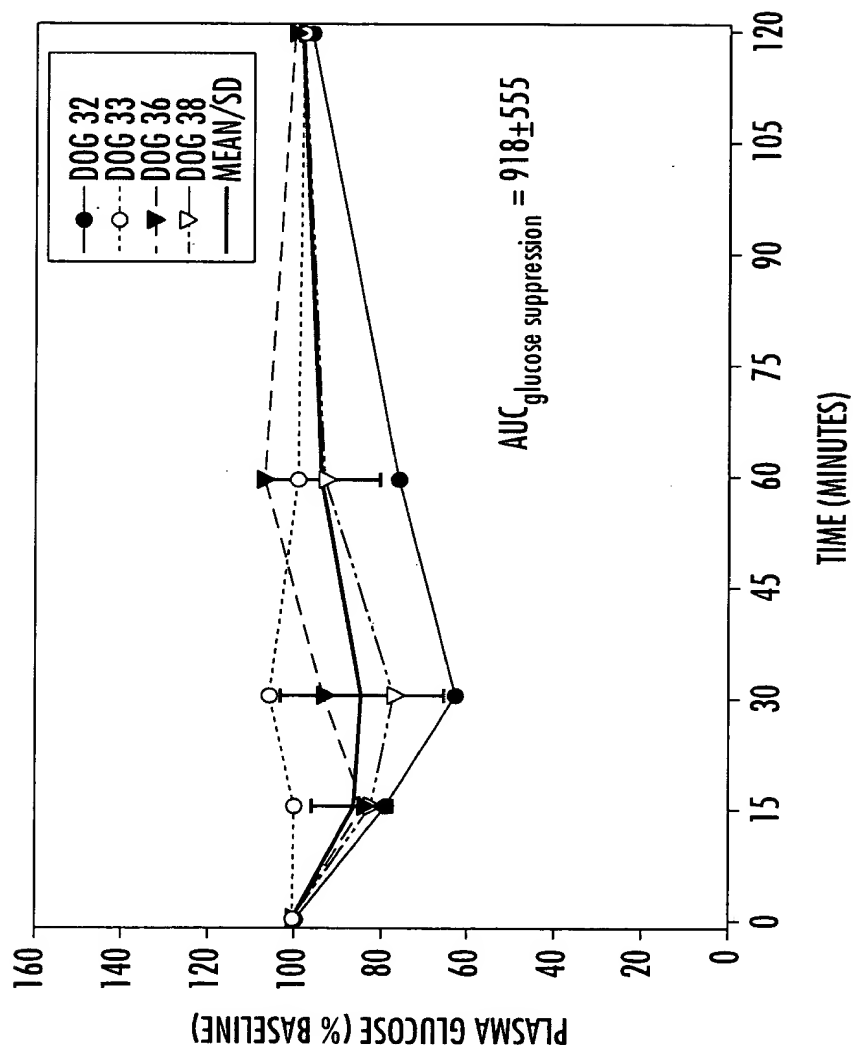


FIG. 35.



36/43

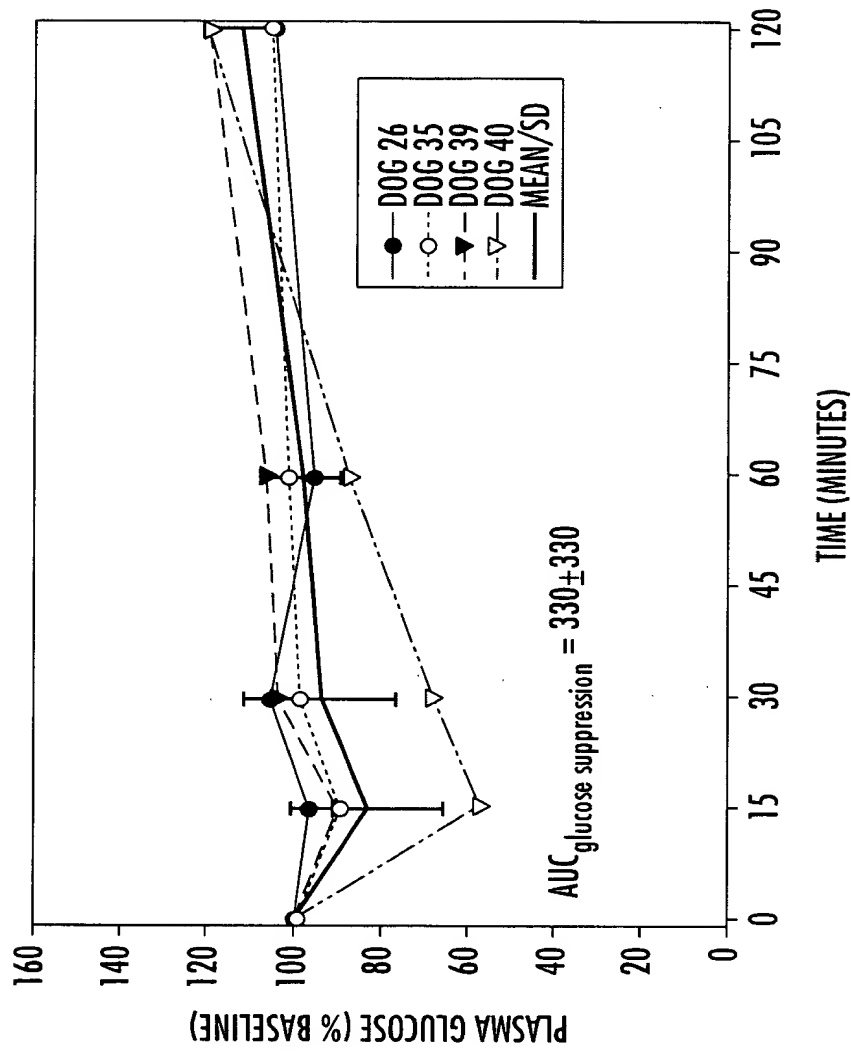


FIG. 36.



37/43

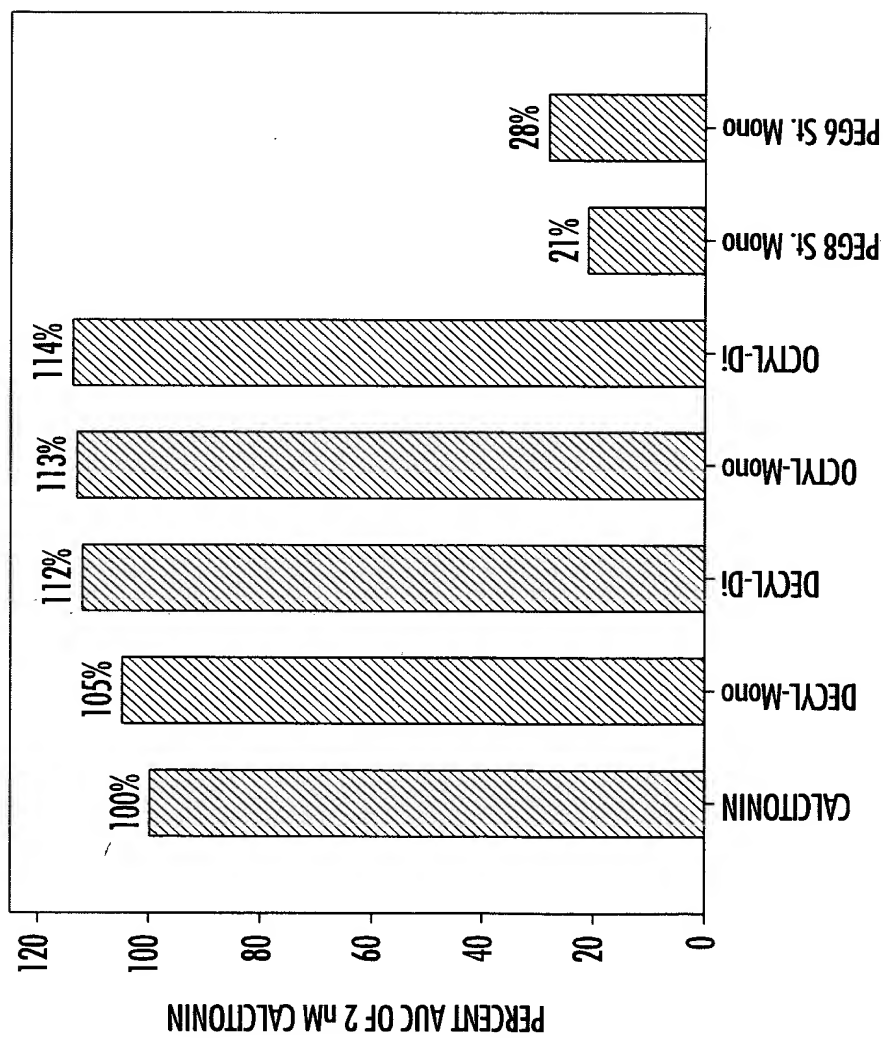


FIG. 37.

38/43

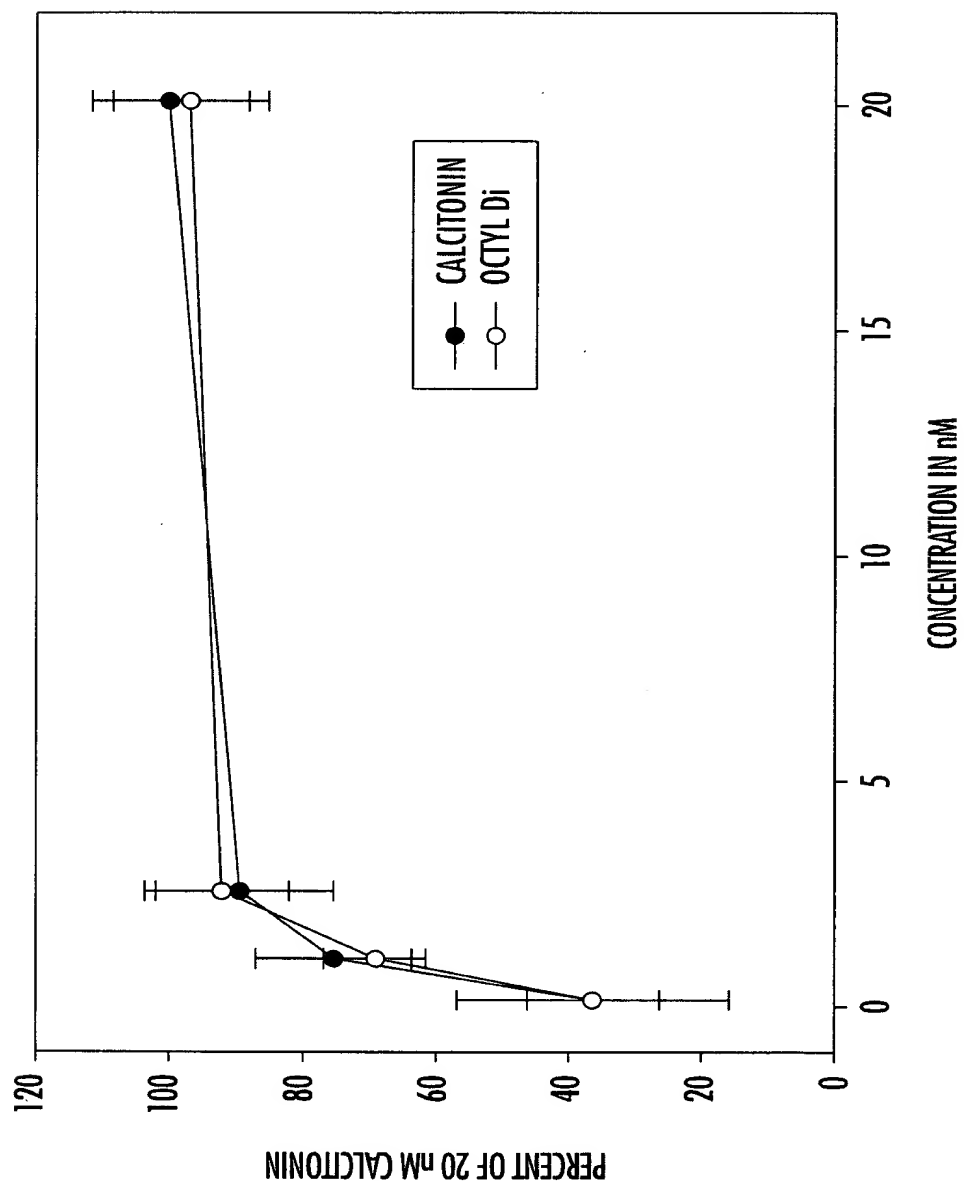


FIG. 38.

39/43

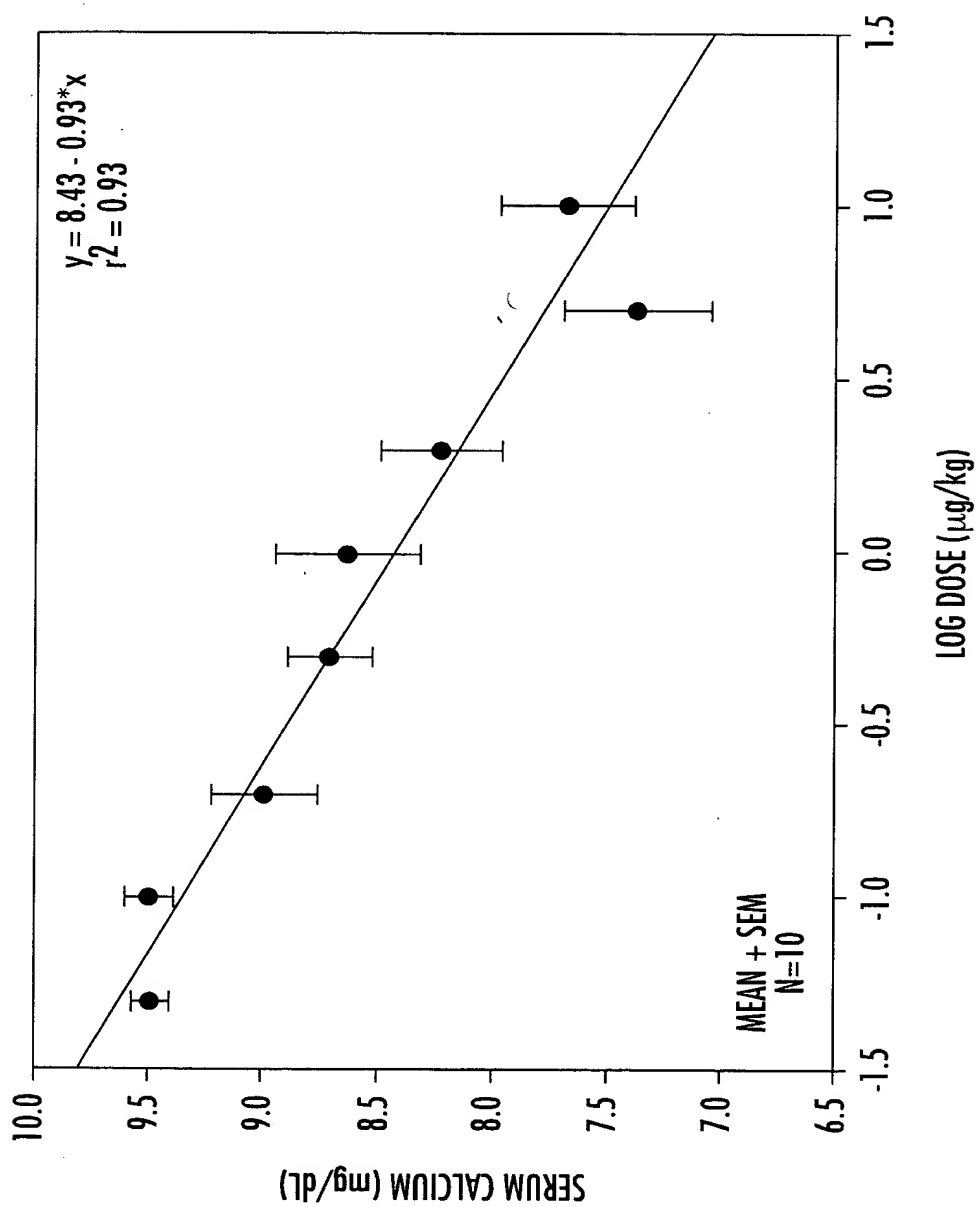


FIG. 39.

40/43

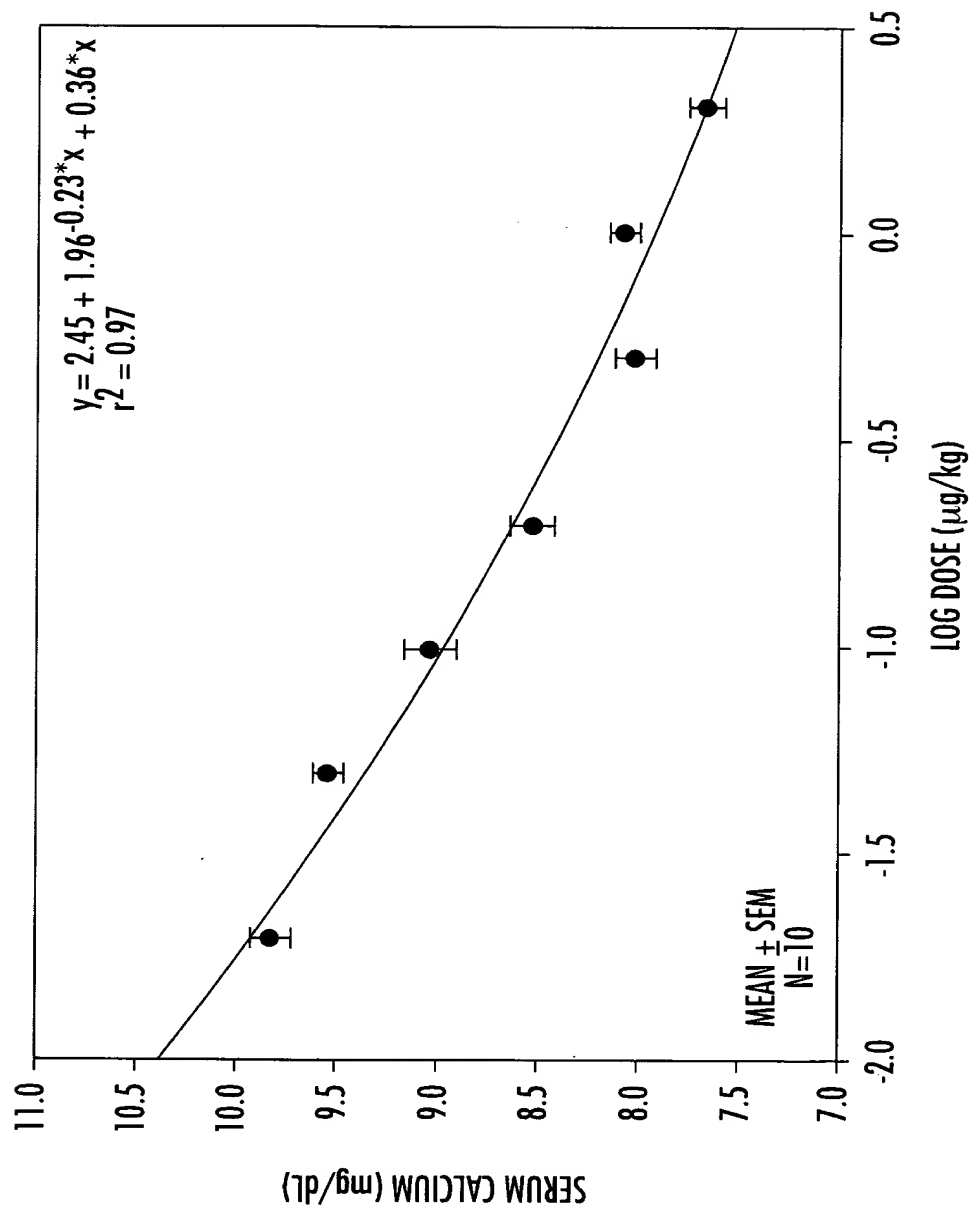


FIG. 40.



41/43

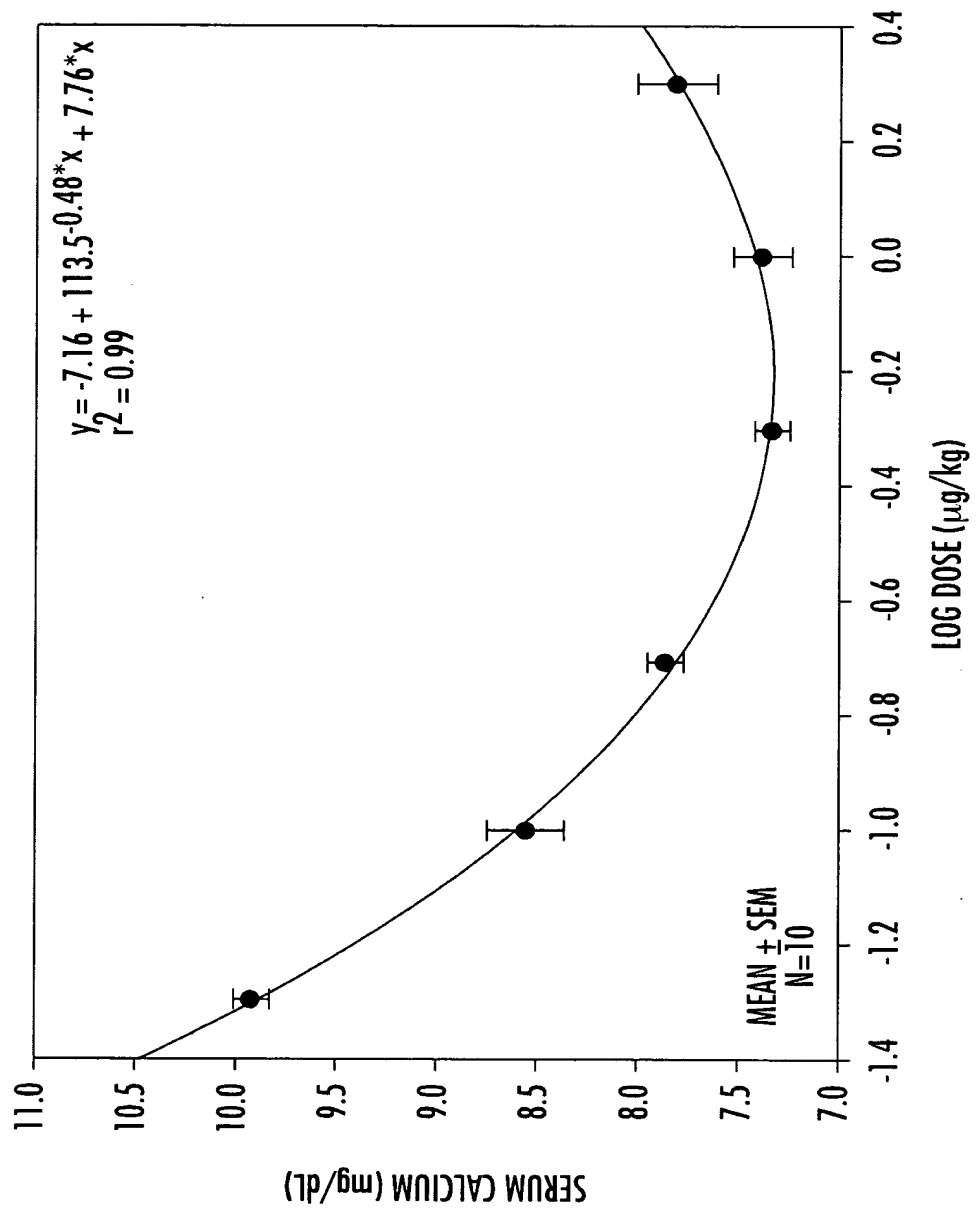


FIG. 41.

42/43

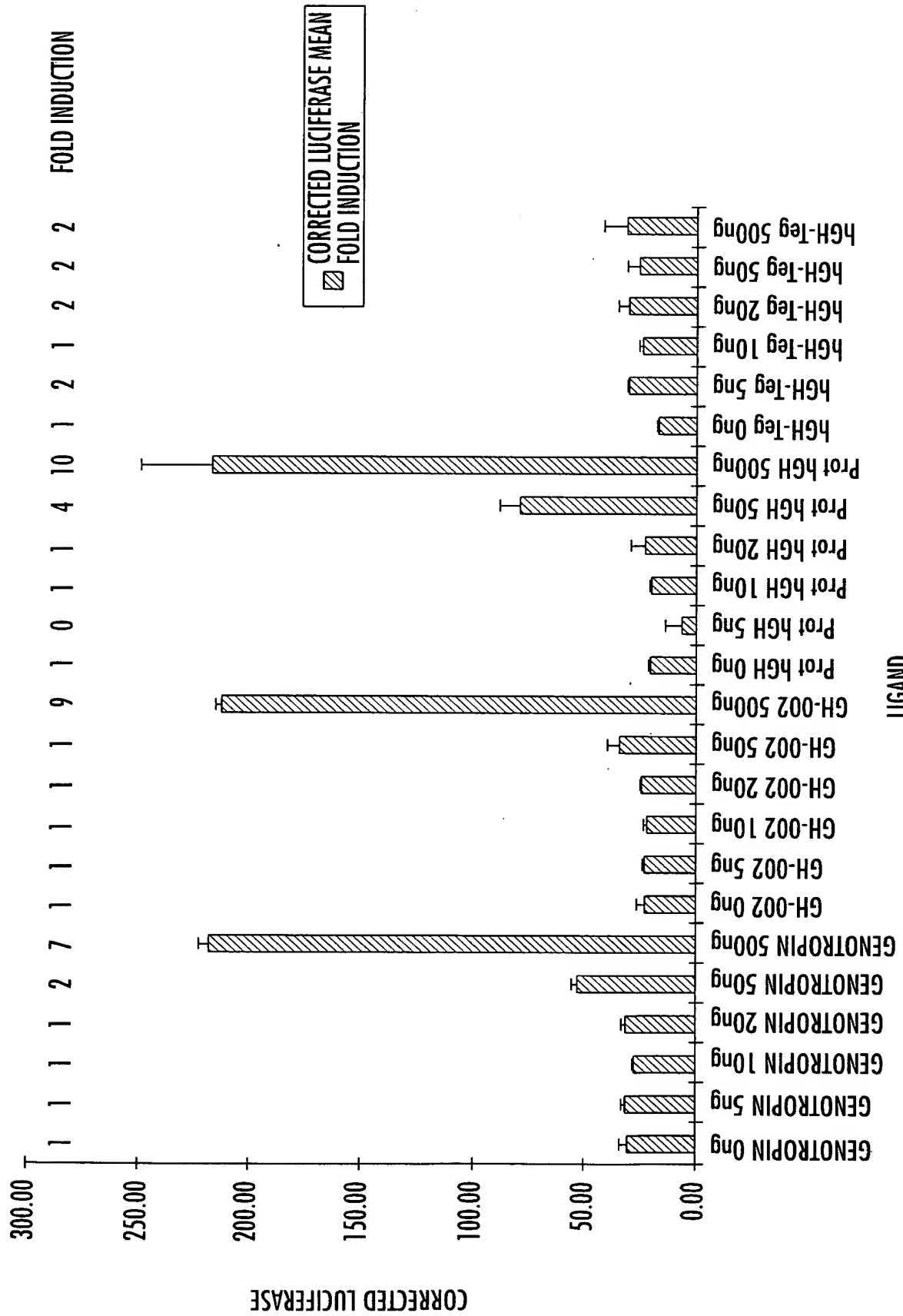


FIG. 42.



43/43

